

Universidad Nacional Autónoma de México

FACULTAD DE CIENCIAS



ANÁLISIS DE UNA ECUACION NO LINEAL
RELACIONADA CON UN PROBLEMA DE
DIFUSION TERMICA

T E S I S
QUE PARA OBTENER EL TITULO DE:
M A T E M A T I C O
P R E S E N T A:

JAVIER FERNANDO ROSENBLUETH LAGUETTE

MAYO 1983



Universidad Nacional
Autónoma de México



UNAM – Dirección General de Bibliotecas
Tesis Digitales
Restricciones de uso

DERECHOS RESERVADOS ©
PROHIBIDA SU REPRODUCCIÓN TOTAL O PARCIAL

Todo el material contenido en esta tesis esta protegido por la Ley Federal del Derecho de Autor (LFDA) de los Estados Unidos Mexicanos (México).

El uso de imágenes, fragmentos de videos, y demás material que sea objeto de protección de los derechos de autor, será exclusivamente para fines educativos e informativos y deberá citar la fuente donde la obtuvo mencionando el autor o autores. Cualquier uso distinto como el lucro, reproducción, edición o modificación, será perseguido y sancionado por el respectivo titular de los Derechos de Autor.

CONTENIDO

INTRODUCCIÓN

<u>1 ANTECEDENTES.</u>	1
1.1 La energía geotérmica.	1
1.2 Uso de la percepción remota.	3
1.3 Solución numérica.	6
(a) la ecuación linealizable.	7
(b) la ecuación no lineal.	11
<u>2 DERMIVACIÓN DEL MODELO.</u>	14
2.1 Introducción.	14
2.2 La ecuación de calor.	15
(a) postulados de absorción y conducción.	15
(b) Métodos de derivación.	16
2.3 Flujo periódico sobre un sólido semi-infinito.	21
(a) Solución de la temperatura en la superficie.	21
(b) Solución del flujo periódico para un caso particular.	26
(c) Solución del flujo periódico: caso general.	30
2.4 El Modelo.	32
<u>3 ANÁLISIS DE LA ECUACIÓN.</u>	33
3.1 Introducción.	33
3.2 Análisis de $T(\omega)$.	38
3.3 Una condición suficiente para flujo máximo.	48
3.4 Variación de la temperatura con respecto a α .	51
<u>4 MÉTODOS NUMÉRICOS Y EJEMPLOS.</u>	56
4.1 Diferencia de temperaturas como función de x y f .	56
4.2 Solución del flujo geotérmico.	60
(a) Modelo lineal.	60
(b) Modelo no lineal.	63
<u>BIBLIOGRAFÍA</u>	68

INTRODUCCIÓN

"the horrid crags, by topping convent crown,
 the cork-trees bear that clothe the staggy deep,
 the mountain-moss by scorching skies inwound,
 the waken glen, whose sward's shrubs must weep,
 the hecker aware of the wriggled keep,
 the orange butts that gild the greenest bough,
 the cotticks that from cliff to valley leap,
 the vine on high, the willow branch below,
 Mix'd in one mighty scene, with varied beauty glow."

BYRON: "Childe Harold's Pilgrimage"; Canto I, XIX.

Mässig

Ich hör' ein Bäch-lein

SCHUBERT: "Die schöne Müllerin", "Wohin?"

$$\frac{P}{\sqrt{\pi T}} \sum_{k=0}^{N-1} U_k \varphi_{n-k} = S_0(1-a)(1-c) \psi_n + \varepsilon \sigma T^2 - \varepsilon \sigma U_n^A + Q$$

$$\forall n \in \{0, 1, \dots, N-1\}.$$

WATSON: "Geologic Applications of Thermal Infrared Images".

Tener la naturaleza enfrente y ser parte de ella...

Un artista la ve y la describe, expone lo que siente. Como poeta puede, si quiere, describir un paisaje y, como Byron, mostrarlo inmensamente realista. Hace una abstracción de lo que ve y usa el lenguaje para expresar sus sentimientos. Como músico, el artista puede si quiere, como Schubert, imitar el sonido de un arroyo y hacer que un piano reproduzca lo que él siente al escuchar ese arroyo. También abstrae lo que escucha y un sonido le permite expresar lo que siente.

Pero un físico frente a la naturaleza, a diferencia del artista, no está buscando describir lo que siente sino explicar lo que ve. Un físico también hace a cabo una abstracción simplificada del objeto que le interesa. También reproduce lo que ve. Pero esa abstracción le será útil en tanto le permita entender el comportamiento del objeto. Y sus herramientas, junto con su intuición y su capacidad de observación exacta, no el lenguaje o el sonido o la forma, sino las matemáticas.

En 1971 K. Wakson inició una serie de estudios para poder determinar el flujo geotérmico con base en mediciones de la temperatura en la superficie terrestre. Sus investigaciones, basadas en las teorías de conducción de calor y transferencia radiativa, dieron lugar a un modelo que fue utilizado en el proyecto de penetración Rumbolt del UMAS en 1981 y los resultados obtenidos motivaron el estudio de varios problemas de interés matemático que permitieron, por ejemplo, ver la posibilidad de cubrir el número de vuelos para las mediciones técnicas, mejorar la precisión de los resultados, generar mapas de flujo geotérmico e isoterma térmica, etc.

Este trabajo es el resultado del análisis propuesto por J.L. Farah de algunos de esos problemas. Brevemente el problema central consiste en lo siguiente:

La ecuación de Wakson que aparece en la página anterior se puede expresar matemáticamente como:

$$\mathbb{E} \cdot v + \alpha v^4 = f \quad (1)$$

donde \mathbb{E} es una matriz de $N \times N$ triplete-circular y v , v^4 y f son vectores en \mathbb{R}^N correspondientes, respectivamente, a la temperatura en la superficie, las componentes de v elevadas a la cuarta y una función que depende del flujo geotérmico. El producto α es escalar y no negativo.

En general, se tienen a cabo los vuelos, uno analítico y uno numérico, que permiten conocer dos valores de v . El vector f es desconocido pero puede calcularse su promedio aritmético, \bar{f} . El problema que se trata de resolver consiste en encontrar la relación que existe entre la diferencia de los dos valores calculados de v (que bien podría ser la diferencia entre las temperaturas máxima y mínima del terreno durante el día del vuelo) y distintos valores de α y \bar{f} .

El problema es bastante complejo y, a pesar de particularidades de la función $\mathbb{E} \cdot v + \alpha v^4$ que se exponen en el capítulo 3, tales como su imagen, condiciones para tener un flujo máximo, etc., que resultan útiles para atacar el problema, este sigue abierto para un trabajo posterior. Los programas y resultados que se incluyen en el último capítulo ejemplifican el problema numéricamente para varios casos particulares y pueden resultar de bastante interés para cualquier estudio general para la determinación

del tipo algebraico.

En los otros dos capítulos se exponen la utilidad que puede aportar el estudio del modelo, su relación con sistemas de percepción Remota, el uso de algoritmos relativamente recientes para resolver sistemas como (*) más eficientes que el método de Newton y, por último, una derivación bastante detallada del modelo de Watson partiendo de hipótesis más generales que las utilizadas por él.

Quisiera agradecer la dirección y paciencia de J.L. Farala durante todo el tiempo que tuvo que elaborar este trabajo así como el apoyo y colaboración, que jamás olvidaré, de Armando Fariola, María Garea y Rafael Weibste. La ayuda del grupo fue indispensable, en particular todas las facilidades que recibí del departamento de computación.

A quien sí no puedo agradecerle su silencio ni agradecerle la tesis, es a Verónica Roban. Hacerte, sería como decirte adiós a mi vesuio. Y, a pesar de más de dos años comunicándonos solo por carta, los dos sabemos que en alguna está reflejada en cada página y en cada palabra.

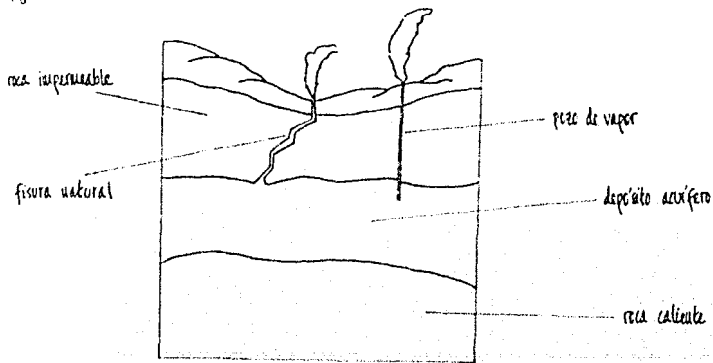
1 ANTECEDENTES

1 LA ENERGÍA GEOTÉRMICA.

La tierra tiene un volumen total de un poco más de un billón de kilómetros cúbicos y, con excepción de una delgada corteza en su superficie externa, prácticamente toda se encuentra a muy altas temperaturas. No se sabe exactamente qué tan caliente pero por flujos de lava — y menos espectaculares, fuentes de aguas termales y géiseres — es evidente que es suficientemente caliente como para suministrar la mayoría de las necesidades de energía de la humanidad. De hecho, si se toma en cuenta el volumen de la tierra y el calor específico de la roca, resulta evidente que la energía geotérmica, el calor natural del interior de la tierra, es la mayor reserva de energía directamente accesible al hombre. Además, la energía que contiene es inherentemente "energía limpia"; existe como calor en sí, por lo que no es necesario quemar combustible u operar un reactor para producir ese calor.

Dadas las dificultades que existen para la localización de fuentes geotérmicas cuya explotación resulte controlable (debido a problemas de perforación, explotación, etc) no es sino hasta hace relativamente pocos años que, gracias a avances tecnológicos, las reservas geotérmicas se han podido comparar favorablemente con otras fuentes de energía. Su utilización ha aumentado notablemente en los últimos años principalmente en la generación de electricidad y en procesos de calentamiento y enfriamiento del ambiente para usos residenciales, comerciales e industriales. Entre otros productos derivados de plantas geotérmicas a han aprovechado minerales, gas natural y agua desalada, sobre todo en Islandia y la URSS.

Aún no se conocen con exactitud algunas características de las reservas geotérmicas tales como el flujo natural de agua dentro de ellas, la circulación por convección y varios aspectos de su geología y flujo de calor pero su estructura general se encuentra relativamente bien entendida y se ilustra esquemáticamente en la figura:



— Diagrama de una reserva geotérmica —

• Generalmente existen simultáneamente tres características biológicas que crean y mantienen un campo geotérmico:

- (1) la mayor fuente de calor, que consiste en un gran suministro de roca caliente en la profundidad
- (2) un depósito acuífero o formación permeable sobre la roca por medio del cual el agua interna está en contacto con la roca caliente y dentro del cual el fluido calentado — vapor, agua caliente, o una mezcla de ambos — circula convectivamente y transporta calor a un nivel superior.
- (3) una capa impermeable sobre el depósito acuífero para prevenir la pérdida de fluido en la superficie.

Cuando el fluido que circula, al menos en la parte superior del acuífero, es vapor, el sistema natural es descrito generalmente como reserva geotérmica predominantemente vaporosa. Cuando las temperaturas son inferiores y más altas las presiones, o la concentración de minerales disueltos mayor, de tal manera que el fluido circulante es agua o agua salada, se habla entonces de una reserva predominantemente líquida.

Las primeras, que producen vapor seco, o sea vapor sobrecalentado con mínimas cantidades de otros gases y prácticamente nada de agua, son las reservas geotérmicas económicamente más atractivas. Ordinariamente se requieren de ningún tratamiento aparte de remover las cenizas y roca que puede llevar consigo el vapor que sale del pozo, y en general el vapor se cubre directamente a una turbina y se genera electricidad. No se ha descubierto más de una docena de reservas de este tipo en el mundo; generalmente aparecen en regiones de reciente vulcanismo y los principales campos que se explotan ya comercialmente se encuentran en Larderello, Italia, en los Geysers en California y Matsukawa, Japón.

Existen más comunes son los campos predominantemente líquidos o de agua sobrecalentada, que producen vapor húmedo. En éstos, la temperatura en la profundidad es superior al punto de ebullición del agua pero el agua o agua caliente en la reserva no hierve por la presión que es mayor que la atmosférica. Cuando el fluido se obtiene de la reserva, su presión se reduce, ocurre la ebullición, y una combinación de vapor con agua caliente aparece en el pozo. Normalmente alrededor de un 20 % del fluido se convierte en vapor saturado (húmedo) y sólo este vapor se utiliza para generar electricidad. El otro 80 % del fluido, agua caliente en ebullición, usualmente se desperdicia. Los principales campos de este tipo se encuentran en Wairakei en Nueva Zelanda, el Imperial Valley en California y Cerro Prieto en México.

Más comunes aún son las reservas naturales de agua caliente a temperaturas inferiores al punto de ebullición. Su uso se ha reducido, en excepción de algunos lugares donde el agua suministra energía para procesos químicos de baja temperatura, y procesos de calentamiento del ambiente.

De todas las reservas, las más abundantes son las llamadas reservas geotérmicas secas, que no producen vapor o agua caliente ya por ser relativamente impermeables al agua o porque no están en contacto con el agua que circula internamente. Las zonas de interés en estas reservas se encuentran a unos seis kilómetros de profundidad, generalmente a temperaturas superiores a 150 °C. Aún no existen métodos que justifiquen el desarrollo comercial para extraer energía de la roca "seca" caliente a pesar de componer la mayor parte de la corteza terrestre pero, así como se ha probado que en los otros tipos de reservas la conversión directa a electricidad es económica y produce un mínimo daño al medio ambiente, los primeros estudios sobre los problemas

gas presentan las reservas geotérmicas o sea hacen esperar que eventualmente contribuirán también, y de manera significativa, a la solución de los problemas mundiales de contaminación y energía.

2. USO DE PERCEPCIÓN REMOTA.

Hasta hace poco, la única técnica para descubrir campos geotérmicos se reducía a perforaciones en áreas que presentaran manifestaciones tales como géiseres y manantiales de aguas termales. Sin embargo, muchas regiones de este tipo no son fácilmente desarrollables y otras, que carecen de manifestaciones en la superficie, se les encuentra que poseen condiciones adecuadas en el subsuelo para el desarrollo y explotación de fuentes geotérmicas. Esto ha hecho necesario utilizar técnicas de exploración más sofisticadas, entre las que se encuentran el análisis de imágenes obtenidas por sensores remotos.

Las interpretaciones de observaciones de sensores remotos se pueden llevar a cabo por medio de foto-interpretación de despliegue de imágenes y sus usos digital por computadora basados en técnicas de procesamiento automatizado. En ambos casos las observaciones son comparadas con estándares preestablecidos: en el primer caso la experiencia previa del foto-interpretador juega el mayor papel en el criterio de reconocimiento, y en el segundo, estándares estadísticos están comúnmente basados en conjuntos "entrenados" seleccionados con anterioridad y en la presencia de distintas poblaciones en los datos que pueden ser analizados usando técnicas de procesamiento y clasificación de grupos. Sin embargo, los problemas dificultan la aplicación de técnicas empíricas en el proceso de interpretación. Por un lado, el número y la magnitud de los factores que afectan la señal global complica mucho la relación entre los datos proporcionados y las variables de interés. Aunque las mediciones radiométricas aéreas son sensibles al calor en la banda infrarroja lo que podría permitir la detección de anomalías en el flujo de calor, son muchos más los factores, además del flujo geotérmico que, sensibles a los sensores, intervienen en el calentamiento de la superficie terrestre. A este habría que sumar el ruido ambiental que afecta la señal.

Por otro lado, la diversidad en tipos de materiales, condiciones climatológicas, ambientes naturales, etc, resulta imprescindible en la naturaleza y es difícil creer que resultados obtenidos en una área bajo ciertas condiciones puedan aplicarse a una nueva área bajo condiciones distintas. Este aspecto, probablemente sea el más importante en el uso de sensores remotos no sólo para detectar campos geotérmicos sino recursos naturales en general: interpretar correctamente nuevas observaciones con base en experiencia previa.

Una manera de atacar el último problema sería llevar a cabo mediciones de una gran cantidad de materiales bajo todo tipo de condiciones y derivar ecuaciones, por medio de relaciones empíricas, una base para interpretar observaciones de alguna área relativamente conocida. Este enfoque puede ser útil para, por ejemplo, establecer nuevas leyes físicas, pero cuando las observaciones son hechas para discriminar e identificar diferentes materiales, resulta más apropiado tener modelos matemáticos de leyes físicas fundamentales, y comenzando con problemas bien definidos y pocas variables ir progresando a situaciones más complejas. Modelo, en este contexto, corresponde a una abstracción simplificada de un objeto físico, y permite, además de adaptar su aplicación a nuevas áreas, resolver de alguna manera el primer problema si se utiliza como una técnica para examinar correlaciones entre las variables seleccionadas.

Al atacar los dos problemas de esta manera, surge la pregunta de qué tan complicado deberá ser el modelo. Esto

afectará la complejidad requerida en el análisis y la precisión y tipo de mediciones que se harán. La mejor manera de manejar este problema y elaborar un modelo útil probablemente sea comenzar con un modelo muy simple y, dependiendo de los resultados, incrementar iterativamente los parámetros y lugares de análisis.

Uno de los primeros trabajos que utilizan mediciones de sensores remotos para el análisis de propiedades térmicas del suelo fue llevado a cabo en 1971 por Watson K. (1); el interés del estudio consistía en discriminar e identificar varios tipos de rocas comunes por medio de la banda infrarroja de un barrido multiespectral. Este trabajo fue la base de estudios posteriores aplicados en la detección de fuentes geotérmicas y volcanes a grandes rasgos como fue desarrollado.

Inicialmente, para discriminar distintos tipos de rocas, se utilizaron observaciones de la emisión térmica del suelo por medio del barrido infrarrojo con la idea de detectar diferencias en la temperatura de las distintas rocas que pudieran atribuirse a diferencias en sus propiedades térmicas. Se consideró entonces el siguiente modelo: se tiene un sólido semi-infinito con propiedades térmicas homogéneas y es calentado sucesivamente por un flujo F de calor. Este flujo en la superficie se puede escribir como:

$$F = F_0 \cos \omega t$$

donde F_0 es el flujo en el tiempo $t=0$, $t=0$ corresponde al tiempo de mayor calentamiento, y el período del flujo $\pi = 2\pi/\omega$ corresponde a 1 día. La temperatura en la superficie v para este flujo periódico se puede derivar de la ecuación de calor y así dada por:

$$v = \frac{F_0}{\sqrt{\rho c \omega}} \cos(\omega t - \pi/4)$$

Donde p es la inercia térmica.

Hasta aquí, la respuesta de la temperatura en la superficie. Implica que materiales con mucha inercia térmica tienen menor amplitud y por lo tanto calientan y enfrían menos que materiales con poca inercia térmica. Es claro que para el problema propuesto esta solución no basta pues no se está tomando en cuenta que materiales oscuros con bajos albedos (la fracción de luz solar incidente que refleja) absorben más energía solar que materiales claros con altos albedos. Con la idea de analizar este efecto con mayor precisión debemos considerar primero la insolación. Analicemos los efectos que causan transmutaciones atmosféricas, la insolación es proporcional al coseno del ángulo cenital del sol; el flujo absorbido por el suelo durante el día estará dado entonces por:

$$S_0(1-A) \cos Z$$

donde S_0 es la constante solar, A el albedo terrestre ($\therefore (1-A)$ la fracción de la insolación que se absorbe) y Z , el ángulo cenital del sol que depende del tiempo (t), latitud (λ) y declinación solar (δ) y está dado

(1) WATSON, K. "Application of Thermal Modeling in the Geological Interpretation of IR Images", Proc. of the 4th International Symp. on Remote Sensing of Environment, Vol. 3. Ann Arbor, Mich., 1971.

por:

$$\cos Z = \cos \lambda \cos \delta (\cos \omega t + \tan \lambda \tan \delta).$$

Además, durante el día y la noche el suelo pierde calor principalmente por radiación, y este término se puede aproximar por la ley de Stefan-Boltzmann, que afirma que el flujo radiativo total es proporcional a la cuarta potencia de la temperatura. Sea σ la constante de Stefan-Boltzmann.

Se tiene entonces un nuevo modelo para expresar la condición de frontera:

$$\begin{aligned} F &= S_0(1-A)\cos Z - \sigma v^4 && \text{(durante el día)} \\ &= -\sigma v^4 && \text{(durante la noche)} \end{aligned} \quad (1)$$

Esta expresión para el flujo resulta más aproximada para la realidad pero mucho más compleja. Es posible resolver el problema utilizando series de Fourier, pero ésta su lenta convergencia para los valores del tiempo que más interesa, lo que lo hace inapropiado para resultados numéricos, baste recordar los desarrollos de Fourier. En 1948, Carslaw y Jaeger (2) desarrollaron un método numérico utilizando transformada de Laplace para resolver el problema general de encontrar soluciones periódicas a problemas de conducción de calor en los que las condiciones de frontera son periódicas y pueden ser lineales o no-lineales. El problema que se resuelve es:

$$\begin{aligned} \frac{\partial v}{\partial t} &= D \frac{\partial^2 v}{\partial x^2} && x, t > 0 \\ \text{con: } v &= 0 && \text{para } t=0, x > 0 \\ -k \frac{\partial v}{\partial x} &= F && \text{para } x=0, t > 0 \end{aligned}$$

donde F , el flujo, es cualquier función periódica escalonada.

El mismo método es utilizado por Jaeger (3) para resolver el problema inverso: si la temperatura en la superficie es una función periódica escalonada, encontrar el flujo que excita esa superficie. Para el problema planteado en (1) es necesario utilizar la solución a este problema inverso, ya que resulta inmanejable la expresión para F si se sustituye el valor de la temperatura dando a la cuenta.

La solución para el flujo periódico promedio en el n -ésimo intervalo (el período τ es dividido en n intervalos iguales $n=1, \dots, N$) y v_n denota la temperatura en el n -ésimo intervalo) está dada por:

$$F_n = \frac{D}{\sqrt{\pi \tau}} \sum_{k=1}^n v_n \cdot F_{n-k} \quad (2)$$

(2) CARSLAW, H.S. y JAEGER, J.C. "Operational methods in applied mathematics" 2nd. ed. Oxford, 1948.

(3) JAEGER, J.C. "Conduction of Heat in a solid with periodic boundary conditions, with an application to the surface temperature of the Moon". Proc Cambridge Phil. Soc., 44(2), 1953.

habe los coeficientes $\{Q_i\}$ dependen únicamente de N .

Sustituyendo en (1) este valor de F (discretizado, promediado y supuesto periódico) se obtienen N ecuaciones de valor grado en las incógnitas v_1, \dots, v_N .

Es claro que esta solución permite variar tanto como se quiera la expresión para F de (1) en que esto afecte radicalmente cualquier método que se proponga para resolver el sistema de ecuaciones. En trabajos posteriores al que llevó a derivar (1), Watzen involucra el flujo solar absorbido (incluyendo efectos de transmisión atmosférica en términos de la altitud solar, cobertura nubosa, calentamiento de la atmósfera y pendiente topográfica), la radiación del cielo absorbida o contraradiación (afectada entre otros factores por nubes y humedad) y la radiación emitida (incluyendo efectos de emisividad).

Si a esta expresión para el flujo que incide la superficie de la tierra le sumamos un nuevo factor ϵ , éste corresponderá a un nuevo factor que interviene en el calentamiento de la superficie; sabe que se están ya teniendo en cuenta todos los factores provenientes de la radiación solar, le corresponderá a la fuente de energía interna, por lo que tendremos expresado el flujo geotérmico (que suponemos constante) en términos de la temperatura en la superficie y diversos parámetros que se pueden aproximar (como la cobertura nubosa), promediar (como la emisividad) o calcular con cierta precisión (como el albedo, utilizando mediciones de los brostoles de Cuba hecha en las bandas visibles (0.4 μ a 0.74 μ)). Por la expresión en (2) resulta claro que además el modelo permite despreciar la incineración en términos semejantes.

En 1981 se presentaron los resultados obtenidos de una investigación realizada con datos obtenidos en el área de Cerro Prieto utilizando el sistema de procesamiento Remotax del INMEX y con base en el modelo que acabamos de exponer (4). A pesar de problemas de calibración, fallas en los datos realizados, etc., los mapas de incineración y flujo geotérmico que se generaron aplicando el modelo, resultaron coincidentes con los mapas realizados directamente en el terreno ϵ , incluso, mostraron anomalías térmicas desconocidas hasta entonces.

3. SOLUCIÓN NUMÉRICA

Para resolver el problema que planteamos en la sección anterior se pueden tomar varios caminos si se busca, sacrificando la solución exacta, reducir tanto como sea posible el tiempo computacional que se invierte; resulta importante tomar esto en cuenta, porque se puede estar analizando un área de, por ejemplo, 500×500 pixels (unidad de área de "picture element"); con la información que se calibra para cada pixel se busca resolver un sistema de N ecuaciones con N incógnitas donde, si las mediciones de la temperatura se llevan a cabo, por ejemplo, cada media hora, $N = 48$. Esto 250000 sistemas de 48 ecuaciones cada uno requieren ser resueltos de manera eficiente; pero no es esto ése el problema: al sacrificar la solución exacta estamos encontrando una solución aproximada a un problema aproximado derivado de un modelo muy simple de una situación física muy compleja.

Restablemente encontramos la ecuación que se quiere resolver pero por el momento vemos en qué consiste. La expresión

(4) JIMENA, A. et al. "Application of Machine Processing of Visible and Thermal Data in the Study of the Geothermal Area of Cerro Prieto, Mexico", INMEX, UNAM, 1981.

más completa que utiliza Watson (5) para el flujo de calor proveniente del sol que calienta la superficie terrestre está dada por:

$$F(t) = -\epsilon \sigma v^4(t) + S_0(1-A)(1-c)(1-0.2\sqrt{\sec Z}) \cos Z' + \epsilon \sigma T^4 \quad (t > 0) \quad (3)$$

ϵ es la emisividad terrestre, σ la constante de Stefan-Boltzmann y $v(t) = \sigma(v, t)$ la temperatura en la superficie. Los otros dos términos corresponden a la radiación absorbida, compuesta por el flujo solar de onda corta y el flujo atmosférico de onda larga; el primero depende de S_0 , la constante solar; A , el albedo terrestre; c , un factor de cobertura nubosa; $Z(t, \lambda, \delta)$ el ángulo cenital y $Z'(t, \lambda, \delta, \phi, \alpha)$ el ángulo cenital local para una superficie inclinada, que a su vez dependen del tiempo t , λ la latitud, δ la declinación solar, ϕ el ángulo de la pendiente de la superficie y α el arcut del ángulo de la pendiente. T es una temperatura promedio del cielo.

El flujo $F(t)$ es periódico de período τ y satisface: $-k \frac{\partial v}{\partial x}(0, t) = F(t)$.

$$v(x, t) \text{ satisface la ecuación de calor: } \frac{\partial v}{\partial t} = D \frac{\partial^2 v}{\partial x^2} \quad (x > 0, t > 0) \quad (4)$$

k es la conductividad; D la difusividad.

El problema es el siguiente:

Los valores de σ y S_0 son conocidos y no dependen del día en consideración; Z y Z' son calculados dependiendo del día, día, etc.; ϵ y T son solo estimados (el primero, por ejemplo, a simple vista); c es supuesto constante en todo el día; A y $v(t)$ dependen de cada pixel. El primer es calculado con mediciones en las bandas visibles y el segundo con mediciones en el infrarrojo en el tiempo t .

Con estos datos, e involucrando una fuente de flujo geotérmico constante G , se trata de resolver la ecuación para G en términos de A y $v(t)$. El problema para la ecuación linealizada fue resuelto por dos caminos en 1975 por Watson (op cit) y en 1981 por Farah (6). Veamos los dos brevemente.

3.1 LA ECUACIÓN LINEARIZADA

El procedimiento de Farah consiste en lo siguiente:

si en (3) agregamos una constante, G , ésta corresponderá, como se mencionó antes, a una fuente de calor que no proviene de la radiación solar, o sea, en condiciones óptimas, el flujo geotérmico.

(5) WATSON, K. "Geologic applications of thermal infrared images" proc. of the IEEE, Vol. 63 No. 1. Denver, Col. 1975.

(6) FARAH, J. L. "Analysis of a Diurnal-Time Linear Model for Earthward Flux Reconnaissance from Two or Three Infrared Measurements" xv Int. Symp. on Remote Sensing of Environment. Ann Arbor, Mich. 1981.

Hagamos $R(t) = S_0(1-d)(1-0.2\sqrt{\pi e Z}) \cos Z' t$, dividiendo $[0, T]$ en N intervalos iguales de longitud $t_1 = T/N$
 llamemos $F(n) = F(nt_1)$, $v(n) = v(nt_1)$ y $R(n) = R(nt_1)$. se sigue entonces de (3):

$$F(n) = -e^{-\gamma T} v^4(n) + (1-\lambda) R(n) + e^{-\gamma T} + G \quad (n=0, 1, \dots, N-1) \tag{5}$$

Ahora, la expresi3n que da origen para $F(n)$ (promediado en cada intervalo $[n, n+1]$) esta dada, como se mencion3, por:

$$\frac{P}{\sqrt{\pi T}} \sum_{k=0}^{N-1} v_k \varphi_{n-k} = F(n) \quad (n=0, 1, \dots, N-1) \quad (v_k = v(k)) \tag{6}$$

donde P es la potencia b3nica y los coeficientes $\{\varphi_i\}$ que dependen solo de N satisfacen:

$$\varphi_n = \varphi_{n-N} \quad \forall n \in \{0, 1, \dots, N-1\}.$$

Matricialmente esto corresponde a:

$$\frac{P}{\sqrt{\pi T}} \Xi \cdot V = F \quad \text{donde } V = \begin{pmatrix} v_0 \\ \vdots \\ v_{N-1} \end{pmatrix} \quad F = \begin{pmatrix} f_0 \\ \vdots \\ f_{N-1} \end{pmatrix}$$

$$\text{y } \Xi \text{ esta dada por: } \begin{pmatrix} \varphi_0 & \varphi_{N-1} & \dots & \varphi_1 \\ \varphi_1 & \varphi_0 & \dots & \varphi_0 \\ \vdots & \vdots & \ddots & \vdots \\ \varphi_{N-1} & \varphi_{N-1} & \dots & \varphi_0 \end{pmatrix}$$

Ahora, dada una funci3n peri3dica $f: \mathbb{Z} \rightarrow \mathbb{C}$ de peri3do N , la transformada finita (directa) de Fourier de f (TFE) denotada por $\hat{f}: \mathbb{Z} \rightarrow \mathbb{C}$ esta dada por $\hat{f}(k) = \frac{1}{N} \sum_{n=0}^{N-1} f(n) e^{-2\pi i n k/N}$ ($k \in \mathbb{Z}$) y la inversa de \hat{f} por $f(n) = \sum_{k=0}^{N-1} \hat{f}(k) e^{2\pi i n k/N}$ ($n \in \mathbb{Z}$) y se cumple respectivamente: $f(n) \supset \hat{f}(k)$, $\hat{f}(k) \subset f(n)$.

Dadas dos funciones $f(n) \supset \hat{f}(k)$ y $g(n) \supset \hat{g}(k)$ la convoluci3n satisface $(f * g)(n) \supset \hat{f}(k) \hat{g}(k)$

$$(f * g)(n) = \frac{1}{N} \sum_{m=0}^{N-1} f(m) g(n-m) = \frac{1}{N} \sum_{m=0}^{N-1} F(n-m) g(m)$$

si definimos $\varphi: \mathbb{Z} \rightarrow \mathbb{C}$ como $\varphi(mN+n) = \varphi_n \quad \forall m \in \mathbb{Z}$ y $n \in \{0, 1, \dots, N-1\}$ y teniendo en cuenta que $v(n)$ y $F(n)$ son tambi3n de peri3do N , la expresi3n en (6) es precisamente:

$$\frac{PN}{\sqrt{\pi T}} (\varphi * v)(n) = F(n)$$

y \therefore se tiene:

$$\frac{PN}{\sqrt{\pi T}} \hat{\varphi}(k) \hat{v}(k) = \hat{F}(k) \tag{7}$$

Es interesante hacer notar que esta expresión diagonalizada Φ :

si U está dada por $u(i, j) = 0 \quad \forall i, j \in \{0, 1, \dots, N-1\}$ excepto $u(0, N-1) = u(i, i-1) = 1 \quad (i=1, \dots, N-1)$, entonces si $U^N = I$ identidad $(N \times N)$, Φ se puede expresar como:

$$\Phi = \sum_{n=0}^{N-1} \varphi_n U^n$$

El polinomio característico de U está dado por $p(\lambda) = \det(U - \lambda I) = (-\lambda)^N - (-1)^N$ y \therefore los eigenvalores de U están dados por las N raíces de $\lambda^N = 1$ i.e. $\lambda_k = e^{2\pi i k/N}$ ($k=0, 1, \dots, N-1$) \therefore como dado un polinomio $q(x) = \varphi_0 + \varphi_1 x + \dots + \varphi_{N-1} x^{N-1}$ los eigenvalores de $q(U)$ están dados por $q(\lambda_k)$ con λ_k eigenvalor de U , se sigue que los eigenvalores de Φ son:

$$\varphi_0 + \varphi_1 \lambda_k + \dots + \varphi_{N-1} \lambda_k^{N-1} = \sum_{n=0}^{N-1} \varphi_n e^{2\pi i n k/N} \quad (k=0, 1, \dots, N-1)$$

Bueno, regresemos al problema. Expandiendo v^t alrededor de un punto x se tiene:

$$v^t = x^t + 4x^3(v-x) + 6x^2(v-x)^2 + \dots$$

\therefore si aproximamos la ecuación (5) considerando el primer término se tiene:

$$f(n) \approx -4\epsilon J x^3 v(n) + 3\epsilon \sigma x^4 + (1-A)R(n) + \epsilon J T^4 + G$$

De (7) se sigue entonces que:

$$\left(\frac{PN}{\sqrt{\pi \epsilon}} \hat{\varphi}(k) + 4\epsilon \sigma x^3 \right) \hat{v}(k) = (1-A)\hat{R}(k) + (3\epsilon \sigma x^4 + \epsilon \sigma T^4 + G) \delta(k) \quad (8)$$

donde $\delta(n) = \begin{cases} 1 & \text{si } n=0 \text{ mod } N \\ 0 & \text{en otro caso.} \end{cases}$ (observación: $1 \neq \delta(k)$).

Despejando de esta ecuación $\hat{v}(k)$, la transformada inversa $v(n)$ está dada por:

$$v(n) = a(1-A) \left(\sum_{k=0}^{N-1} \frac{c}{\hat{\varphi}(k) + c} \hat{R}(k) e^{2\pi i n k/N} \right) + ab \quad (9)$$

donde: $a = \frac{1}{4\epsilon \sigma x^3}$, $b = 3\epsilon \sigma x^4 + \epsilon \sigma T^4 + G$ y $c = \frac{\sqrt{\pi \epsilon}}{PN} \neq 0$.

Además, esta solución tiene varias consecuencias interesantes:

Posteriormente se probó que $\hat{Q}(0) = 0$. \therefore si en (8) hacemos $k=0$ se tiene:

$$\hat{v}(0) = a(1-A)\hat{R}(0) + ab$$

$$\text{y } \therefore G = \epsilon\sigma\pi^2(4\bar{v} - 3a) - (1-A)\bar{R} - \epsilon\sigma T^4 \quad (10)$$

$$\text{donde } \bar{v} = \hat{v}(0) = \frac{1}{N} \sum_{n=0}^{N-1} v(n) \quad \text{y} \quad \bar{R} = \hat{R}(0) = \frac{1}{N} \sum_{n=0}^{N-1} R(n).$$

La ecuación (10) expresa G en términos de A y \bar{v} y hace ver que es independiente de la mezcla térmica.

Ahora, si se tienen dos o tres mediciones de $v(t)$, el valor de \bar{v} será poco aproximado y por lo tanto el de G . Sin embargo, por la solución (4) se sigue que, si se tienen dos mediciones de $v(t)$ (por ejemplo en los tiempos $n_1 \neq n_2$) entonces $v(n_1)v^{-1}(n_2)$ permite despejar b y c y la cualquiera de las dos ecuaciones $v(n_i)$, despejar a . Estos tres valores determinan α , G y P . Computacionalmente, para calcular la TFF de $Q(n)$ y $R(n)$ en (4) pueden utilizarse algoritmos muy rápidos como el de la transformada rápida de Fourier y, para encontrar la solución a b , c y a , métodos de interpolación.

Veniremos ahora brevemente al procedimiento de Watson.

La ecuación (3) con condiciones (4) es linealizada desde un principio eligiendo el valor $x=T$. La solución explícita para $v(t)$ está dada entonces por:

$$v(t) = T + \frac{(1-A)S_0(1-d)}{k} \sum_{n=0}^{\infty} \frac{A_n \cos(\omega n t - \epsilon_n - \delta_n)}{\sqrt{(h + k/n)^2 + (k/n)^2}}$$

donde A_n y ϵ_n son la amplitud y fase de las componentes armónicas de la oscilación local $H(t)$ dada por:

$$H = \begin{cases} (1 - 0.2\sqrt{\cos 2t}) \cos 2t & t_a < t < t_c \\ 0 & t_c < t < \tau + t_a \end{cases}$$

(t_a y t_c son los tiempos de ascenso y crecemento locales respectivamente).

$$h = 4\epsilon\sigma T^3/k, \quad \tau = 2\pi/\omega \quad \text{y} \quad \delta_n = \arctan(k/n/h + k/n).$$

Si se introduce ahora el efecto de un flujo geotérmico G sumando una regular solución $v' = \frac{Gx}{k} + \frac{G}{kh}$ que satisface (3) y (4) entonces:

$$v(t) = T + \frac{Gx}{k} + \frac{G}{kh} + \frac{(1-A)S_0(1-d)}{k} \sum_{n=0}^{\infty} \frac{A_n \cos(\omega n t - \epsilon_n - \delta_n)}{\sqrt{(s + r/n)^2 + (r/n)^2}}$$

$$\text{donde } s = 4\epsilon\sigma T^3 \quad \text{y} \quad r = r\sqrt{\pi/\epsilon}$$

\therefore la temperatura media \bar{T} está dada por:

$$\bar{T} = \frac{1}{\tau} \int_0^{\tau} T(t) dt = T + \frac{Q}{\epsilon} + (1-A)s_0(1-d)A_0 \cos \epsilon_0/s$$

$$\text{donde: } A_0 \cos \epsilon_0 = \frac{1}{\tau} \int_0^{\tau} H(t) dt.$$

Claramente este valor para Q coincide con (10) haciendo $x=T$.

3.2 LA ECUACIÓN NO LINEAL.

Las ecuaciones (5) y (6) corresponden a un sistema de N ecuaciones de 4° grado. Si se conocen los valores $v(n)$ y $v(m)$, este sistema permite resolver para G y P . Si se conocen B_0 , se puede debilitar la hipótesis de considerar ϵ independiente del pixel y despejar entonces para ϵ , G y P .

El método de Newton es el método utilizado más frecuentemente en la solución de sistemas de ecuaciones no lineales pero presenta varias ventajas desde un punto de vista práctico. Por un lado, en algunas modificaciones frecuentemente diverge; son bien conocidas condiciones de convergencia pero dependen de la estimación inicial de la solución que no siempre resulta apropiada. Por otro lado, cada iteración requiere de la evaluación de la matriz jacobiana de la función y para obtener su inversa, la solución de un sistema lineal. Un algoritmo relativamente reciente fue desarrollado por Brodyen (7) con la idea de resolver estas desventajas. Para el problema que nos concierne, dada la función particular que da lugar al sistema de ecuaciones (ya sea para resolver G y P o G , ϵ y P), este algoritmo resulta sumamente útil y lo describiremos con cierto detalle.

El método de Newton consiste en lo siguiente:

se quiere encontrar un cero de $f: \mathbb{R}^n \rightarrow \mathbb{R}^n$; si x_i es la i -ésima aproximación a $f(x)=0$ y $f_i = f(x_i)$ entonces se define:

$$x_{i+1} = x_i - (J_f(x_i))^{-1} f_i \quad (\text{donde } J_f(x_i) \text{ es la matriz jacobiana en } x_i).$$

Suspongamos que B_i es una aproximación a $J_f(x_i)$ y $P_i = -B_i^{-1} f_i$.

Entonces una simple modificación del método de Newton consiste en definir:

$$x_{i+1} = x_i + t_i P_i$$

donde t_i es un escalar que previene la divergencia.

Buscamos una aproximación B_{i+1} de $J_f(x_{i+1})$.

Sea $\gamma(t) = x_i + t p_i$ $t \in \mathbb{R}$, y $g = f \circ \gamma$.

$$\therefore g'(t) = f'(\gamma(t)) \gamma'(t) = J_f(\gamma(t)) p_i.$$

Esta igualdad establece una condición que cualquier aproximación a la matriz jacobiana debe satisfacer. Se requiere entonces una estimación de $g'(t)$ que se puede obtener expandiendo $g(t)$ alrededor de un punto, hagamos $t = t_i - s_i$.

$$\text{i.e. } g(t_i - s_i) \approx g(t_i) - s_i g'(t_i) \quad \text{y } \therefore f(x_i + (t_i - s_i) p_i) \approx f_{i+1} - s_i J_f(x_{i+1}) p_i.$$

Se pide entonces,

$$f_{i+1} - f(x_i + (t_i - s_i) p_i) = s_i B_{i+1} p_i.$$

si el error en esta estimación es considerable se puede entonces minimizar haciendo a s_i tan pequeño como sea posible, consistente con que la diferencia $g(t_i - s_i)$ y $g(t_i)$ sea suficientemente grande.

Ahora, para evitar en el cálculo de p_i tener que resolver n ecuaciones lineales se puede guardar en memoria un B_i o su inversa y por lo tanto la operación se reduce a una multiplicación matricial.

Se pide entonces que, si $H_i = -B_i^{-1}$ y $\eta_i = f_{i+1} - f(x_i + (t_i - s_i) p_i)$:

$$(1) \quad p_i = H_i \eta_i$$

$$(2) \quad H_{i+1} \eta_i = -s_i p_i.$$

Esta última expresión no define una matriz única y, dependiendo de distintos criterios impuestos sobre H_{i+1} se obtienen distintos métodos de solución llamados de "quasi-Newton".

La expresión:

$$\eta_i = s_i B_{i+1} p_i$$

relaciona el cambio η_i en la función f con el cambio de x en la dirección p_i pero no se tiene ninguna información del cambio en f si x cambia en una dirección distinta a p_i . También propone entonces que B_{i+1} sea escogida de tal manera que el cambio en f que produce B_{i+1} en una dirección q_i ortogonal a p_i sea el mismo que produce B_i . Es decir, $\ker(B_{i+1} - B_i) = p_i^\perp$. Esta segunda condición sobre B_{i+1} :

$$B_{i+1} q_i = B_i q_i \quad \forall q_i \in \mathbb{R}^n \quad \exists q_i^\perp p_i = 0$$

determina, junto con $\eta_i = s_i B_{i+1} p_i$ una aproximación única a $J_f(x_{i+1})$ dada por:

$$B_{i+1} = B_i + \frac{(y_i - S_i B_i P_i) P_i^t}{S_i P_i^t P_i}$$

y en términos de la inversa,

$$H_{i+1} = H_i - \frac{(S_i P_i + H_i y_i) P_i^t H_i}{P_i^t H_i y_i}$$

Podría darse otro tipo de condiciones sobre la aproximación de $J_f(x_{i+1})$ (por ejemplo, pedir que: $H_{i+1} v_i = H_i v_i$ o $v_i^t y_i = 0$) pero, comparándolos entre sí, prueba que, en caso de tener un buen estimador inicial de la matriz jacobiana y de la solución, éste es el método que más rápidamente converge y, si $t_i = 1$, el que menos operaciones requiere. Si además la aproximación para $f'(x)$ es buena, i.e. el error en la expansión con un término es mínimo, basta hacer $S_i = t_i$.

El método se reduce entonces a:

$$x_{i+1} = x_i + H_i f_i$$

$$H_{i+1} = H_i - \frac{(P_i + H_i y_i) P_i^t H_i}{P_i^t H_i y_i}$$

$$\text{donde: } P_i = x_{i+1} - x_i \quad \text{y} \quad y_i = f_{i+1} - f_i.$$

Al final anexamos dos programas hechos en las discusiones anteriores. El primero determina el flujo geotérmico y la merca térmica utilizando la ecuación linealizada y la transformación rápida de Fourier. El segundo, utilizando el método de Broyden cuenta la conductividad, la merca térmica y el flujo geotérmico, resolviendo la ecuación no lineal hecha en (5) y (6). En ambos se piden tres temperaturas de la superficie terrestre en tiempos durante el día, la tarde y la noche. El albedo es supuesto conocido.

1 INTRODUCCIÓN

Cuando dos cuerpos están en contacto a diferente temperatura, determinadas choques moleculares producen una transferencia de energía del cuerpo a mayor temperatura al cuerpo a menor temperatura. Este mecanismo, que se caracteriza por una comunicación directa entre las moléculas, se conoce como conducción de calor; el cuerpo a mayor temperatura se dice que desprende calor (o pierde energía) mientras que el otro lo absorbe (o gana energía) y se considera la variación en la cantidad de calor de un material como positiva si este absorbe calor y negativa si lo desprende.

Hablar de "cantidad de calor" en un material es una convención. El calor, como el trabajo, es una forma transitoria de energía. Transitoria, porque existe sólo cuando hay un intercambio de energía entre los sistemas; es decir, cuando algún tipo de energía (como energía cinética y potencial moleculares, energía eléctrica, energía de radiación, etc.) se transforma en algún tipo de energía de otro sistema. Pero, a diferencia del trabajo, el calor corresponde a una combinación de tipos de energía donde ese intercambio se debe a una diferencia de temperaturas. En la mayoría de los problemas prácticos relacionados con estos intercambios de energía, se consideran aquellos en los que se lleva a cabo solo un intercambio o transferencia de energía interna (la energía relacionada con el estado físico y químico del sistema, o sea la orientación y movimiento de las moléculas y átomos de éste); se identifica el calor con esa energía interna y se refiere uno a él como "algo" que fluye de un sistema a otro.

Para medir la cantidad de calor o flujo presentes en un material se usan unidades como la caloría (cal) o BTU (British Thermal Unit), y se entiende por una unidad de calor, la cantidad necesaria para elevar la temperatura de una unidad de agua una unidad de temperatura. Por ejemplo, una caloría es la cantidad de calor necesaria para elevar la temperatura de un gramo de agua un grado centígrado y un BTU la necesaria para elevar la temperatura de una libra de agua un grado Fahrenheit.

Esta definición de unidad de calor lleva implícita una suposición, que experimentalmente se ha verificado no es cierta, acerca del comportamiento del calor: el aumento de temperatura debido a una cantidad de calor dada es independiente de la temperatura inicial. Sin embargo, esa dependencia es mínima y la suposición, suficientemente aproximada para nuestros propósitos. Para reducir el malentendido será necesario usar aproximaciones y cada una será mencionada en el desarrollo.

Derivaremos primero la ecuación de calor (o ecuación diferencial de difusión); es la única herramienta física que utilizaremos para deducir el modelo que relaciona la temperatura en la superficie de la tierra y un flujo de calor que la "recibe". Esta derivación utiliza la transferencia de Laplace tanto para la relación a la ecuación de calor como para la relación entre las tres funciones. Al final del capítulo presentaremos un resumen del modelo que permite la detección del flujo geotérmico.

2. LA ECUACIÓN DE CALOR

Partiremos de las postuladas para derivar la ecuación de calor. Ambos son las leyes principales que rigen este proceso de transferencia, y ambos son verificables experimentalmente.

2.1 Absorción.

Como la energía interna de un cuerpo varía si éste desprende o absorbe calor, si no ocurre ningún otro proceso en el cuerpo, se sigue del principio de conservación de energía ("En todo sistema aislado, los únicos procesos que ocurren son aquellos en los que la energía (interna) del sistema permanece constante"), que la variación en su cantidad de calor será igual al cambio de su energía. Estos cambios dependen del número de moléculas del cuerpo y del cambio de energía de cada una y, por lo tanto, de la masa del cuerpo y del cambio de temperatura. La relación es la siguiente:

Si denotamos por ΔQ la variación en la cantidad de calor de un material con masa m y a ΔT su cambio de temperatura, entonces ΔQ es proporcional a $m \cdot \Delta T$. Si llamamos a c la constante de proporcionalidad (llamada el calor específico del material y que depende sólo de éste) entonces:

$$\Delta Q = cm \Delta T.$$

En otras palabras, el calor específico de un material es la relación de la cantidad de calor aplicada al cuerpo a su correspondiente cambio de temperatura, por unidad de masa. De la definición de unidad de calor dada en 1 es claro que $c = 1$ para el agua.

2.2 Conducción.

Consideremos una barra aislada de material homogéneo, longitud Δx y área de sección recta A . Si las caras de los dos extremos se mantienen a temperaturas distintas y ΔQ es la cantidad de calor que fluye perpendicular a las caras en un tiempo Δt entonces:

(a) dada una diferencia de temperaturas ΔT , ΔQ es proporcional a Δt y A .

(b) dados Δt y A , ΔQ es proporcional a $\Delta T / \Delta x$.

Entonces:

$$\frac{\Delta Q}{\Delta t} = -k A \frac{\Delta T}{\Delta x}. \quad (k > 0 \text{ se llama la conductividad (térmica) del material}).$$

2.3 Observaciones:

(a) si el aumento de temperatura en un segmento de material con masa m es una función del tiempo, del postulado de absorción se sigue que la razón instantánea de cambio de la cantidad de calor en el segmento, en el tiempo t_0 , es proporcional a la razón instantánea del cambio de temperatura.

Es decir,

$$\frac{\partial Q}{\partial t}(x, t_0) = c m \frac{\partial T}{\partial t}(x, t_0) \quad (1)$$

(b) Si la temperatura es una función de x en el intervalo dado, del postulado de conducción se sigue que la razón de flujo a lo largo de la superficie $x = x_0$ es proporcional al gradiente de temperatura.

Es decir,

$$\frac{\partial Q}{\partial t}(x_0, t) = -k A \frac{\partial T}{\partial x}(x_0, t) \quad (2)$$

en un instante dado t_0 .

(c) El gradiente de una función en un punto es un vector en cuya dirección la función aumenta más rápidamente, y como el calor fluye de regiones calientes a frías, la constante en (2) tiene un signo negativo:

$$-k A \frac{\partial T}{\partial x}(x_0, t) = -k A (\nabla T)(x_0) \text{ apunta en la dirección en la que } T \text{ decrece más rápidamente.}$$

(d) El postulado de absorción no se refiere a la cantidad absoluta de calor en un cuerpo sino a un cambio en esa cantidad. Dada una distribución de temperatura $T(x, t)$ en una barra, podemos calcular por integración la cantidad total de calor en un segmento (a, b) : en el instante t_0 , el aumento de temperatura de 1°K en un punto x_0 es $T(x_0, t_0)$ y por el postulado de absorción, la cantidad total de calor en (a, b) en el tiempo t_0 es:

$$h(t_0) = c p \int_a^b T(x, t_0) dx$$

donde p es la densidad de masa que suponemos uniforme.

2.4 Métodos de derivación.

Por medio de los dos postulados anteriores y la primera ley de termodinámica derivaremos la ecuación de calor por los métodos. El primero a través del valor medio y el segundo usando el teorema de divergencia. En ambos se considerará que el medio es aislado y posteriormente indicaremos el caso que involucre fuentes internas de energía.

(a) Método 1: Teorema del valor medio. Ecuación en una dimensión.

Consideremos una barra homogénea como en 2.2 y aislamos un segmento entre x_0 y $x_0 + \Delta x$.

De (1) se sigue que para cualquier tiempo t ,

$$\frac{\partial Q}{\partial t}(x, t) = c m \frac{\partial T}{\partial t}(x, t) \quad \forall x \in (x_0, x_0 + \Delta x)$$

Ahora, suponiendo $\frac{\partial T}{\partial t}(x, t_0)$ continua, existe $\xi_0 \in (x_0, x_0 + \Delta x)$ para el cual $\frac{\partial T}{\partial t}(\xi_0, t_0)$ corresponde al valor promedio de la razón de cambio de temperatura sobre todo el segmento.

∴ la razón de absorción de calor en todo el segmento era $c \rho \Delta x A \frac{\partial T}{\partial t}(\xi_0, t_0)$, donde ρ es la densidad (uniforme).

Por otro lado, esta razón de acumulación (o absorción) de calor a lo largo de todo el segmento está dada por el primer principio de termodinámica ("En un sistema aislado, la cantidad total de energía se conserva"), por la razón del calor que entra en el segmento en el tiempo t_0 menos la que sale, i.e.:

$$kA \left(\frac{\partial T}{\partial x}(x_0 + \Delta x, t_0) - \frac{\partial T}{\partial x}(x_0, t_0) \right)$$

por la ecuación (2).

Ahora, por el teorema del valor medio, existe $\eta_0 \in (x_0, x_0 + \Delta x)$ tal que este valor es igual a:

$$kA \frac{\partial^2 T}{\partial x^2}(\eta_0, t_0) \Delta x.$$

Iguando ambos resultados se obtiene:

$$c \rho \Delta x A \frac{\partial T}{\partial t}(\xi_0, t_0) = kA \frac{\partial^2 T}{\partial x^2}(\eta_0, t_0) \Delta x$$

∴ si $\Delta x \rightarrow 0$ se tiene que $\xi_0 \rightarrow x_0$ o $\eta_0 \rightarrow x_0$ y:

$$c \rho \frac{\partial T}{\partial t}(x_0, t_0) = k \frac{\partial^2 T}{\partial x^2}(x_0, t_0).$$

(b) Método 2: Problema de divergencia. Ecuación en tres dimensiones.

Consideremos una superficie S parametrizada por $\Xi: D \subset \mathbb{R}^2 \rightarrow \mathbb{R}^3$ donde:

$$\Xi(u, v) = (x(u, v), y(u, v), z(u, v)).$$

Si la superficie es suave, el vector $(T_u \times T_v)(\Xi(u_0, v_0))$ es normal a S en $\Xi(u_0, v_0)$, donde:

$$T_u(\Xi(u_0, v_0)) = \left(\frac{\partial x}{\partial u}, \frac{\partial y}{\partial u}, \frac{\partial z}{\partial u} \right)(u_0, v_0)$$

$$y \quad T_v(\Xi(u_0, v_0)) = \left(\frac{\partial x}{\partial v}, \frac{\partial y}{\partial v}, \frac{\partial z}{\partial v} \right)(u_0, v_0)$$

y si F es cualquier campo vectorial en S , la integral de superficie de F sobre Ξ está dada por:

$$\int_{\mathbb{E}} F = \int_D (F \cdot (T_u \times T_v)) du dv.$$

Podemos interpretar esta integral de la siguiente manera:

Supongamos que S está orientada positivamente y que \mathbb{E} es una parametrización de S que preserva la orientación. Sea $D_{i,j} \subset D$ un cuadrado de una partición de D con lados de longitud Δu y Δv y sea $(u,v) \in D_{i,j}$ y $\mathbb{E}(u,v) = (x,y,z)$. El volumen del paralelepípedo formado por los vectores $F(x,y,z)$, $\Delta u T_u$ y $\Delta v T_v$ está dado por:

$$|F \cdot (\Delta u T_u \times \Delta v T_v)| = |F \cdot (T_u \times T_v)| \Delta u \Delta v$$

Supongamos ahora que ρ es la densidad de un fluido moviéndose con velocidad V a lo largo de S . La dirección de $V(x,y,z)$ coincide con la dirección en la que el fluido se mueve a lo largo de la superficie en una vecindad de (x,y,z) y $|V \cdot (T_u \times T_v)| \Delta u \Delta v$ mide el volumen que contiene el material que fluye a través de $\Delta u T_u \times \Delta v T_v$ por unidades de tiempo. Por lo tanto, como $V \cdot (T_u \times T_v) \Delta u \Delta v$ es positivo (hacia la orientación) si V apunta en la dirección de la normal n (o sea "hacia afuera" de la superficie) y es negativo si apunta "hacia adentro", multiplicando por la densidad, la expresión

$$\sum_{i,j} \rho V \cdot (T_u \times T_v) \Delta u \Delta v$$

es una medida aproximada de la masa total que fluye hacia afuera a lo largo de la superficie por unidades de tiempo.

$$\therefore \text{si } F = \rho V, \quad \int_{\mathbb{E}} F = \int_S (F \cdot n) dS$$

representa la razón de flujo del fluido.

Consideremos ahora "algo" (materia, carga eléctrica) que se mueve en una región acotada Ω del espacio y sea $S = \partial\Omega$ la superficie que determina la frontera de Ω . El hecho que ese "algo" o esa masa, se conserve, que no se cree ni destruya, o sea que su razón de cambio en Ω sea igual a la razón de flujo de esa masa a través de la superficie acotada S .

Entonces, si $\rho(x,y,z,t)$ es la densidad de ese fluido en un punto (x,y,z) en el tiempo t (función real de clase C^1) y $V(x,y,z,t)$ su velocidad (campo vectorial en \mathbb{R}^3 de clase C^1 para cada t),

$$\int_{\Omega} \rho \quad \text{es la masa total en } \Omega$$

4 por la explicación anterior, $-\int_S (pV) \cdot n \, dS$ la razón de flujo que entra en Ω .

\therefore El pedor que se conserva la masa equivale a pedor que:

$$\frac{d}{dt} \int_{\Omega} \rho = - \int_S (F \cdot n) \, dS$$

donde $F = pV$.

Aplicamos ahora el teorema de divergencia.

Suponiamo que $\frac{\partial \rho}{\partial t}$ es continua, $\frac{d}{dt} \int_{\Omega} \rho = \int_{\Omega} \frac{\partial \rho}{\partial t} \, dV$

y por el teorema de divergencia:

$$\int_S (F \cdot n) \, dS = \int_{\partial \Omega} (F \cdot n) \, dS = \int_{\Omega} (\text{div } F) \, dV$$

$$\therefore \int_{\Omega} \frac{\partial \rho}{\partial t} = - \int_{\Omega} \text{div } F \quad \text{y} \quad \therefore \int_{\Omega} (\text{div } F + \frac{\partial \rho}{\partial t}) \, dV = 0$$

Como esta igualdad es supuesta valida para toda region $\Omega \subset \mathbb{R}^3$ se sigue que

$$\text{div } F + \frac{\partial \rho}{\partial t} = 0.$$

Ahora, consideremos un solido homogéneo e isotrópico Ω en \mathbb{R}^3 . El vector de flujo de energía (energía por unidad de tiempo por unidad de área) está dado, por el postulado de conducción, por:

$$F = -k \nabla T$$

con k la conductividad. Por la observación (k), $c\rho T$ es la energía por unidad de volumen (o densidad de energía) con c el calor específico y ρ la densidad de masa, y la cantidad de calor Q en Ω está dada por:

$$Q = c \int_{\Omega} \rho T \, dV$$

y como consecuencia de la primera ley de termodinámica, la razón de cambio de energía en Ω debe igualar la razón por la que la energía entra en Ω que, como vimos, equivale a:

$$\text{div } F + \frac{\partial}{\partial t} (c\rho T) = 0$$

∴ ρc ∂T / ∂t = -div (-k ∇T).

∴ ρc ∂T / ∂t = k ∇²T. donde ∇²T = ∂²T / ∂x² + ∂²T / ∂y² + ∂²T / ∂z² es el laplaciano de T.

(c) Consideremos la situación descrita en el apartado (a), pero supongamos ahora que el sólido no está aislado. Sea f(x,t) la cantidad de calor por unidad de tiempo que se genera en el segmento entre x₀ y x₀ + Δx.

Por lo tanto, para algún punto u₀ ∈ (x₀, x₀ + Δx), la razón de calor generado en el segmento en el tiempo t₀ es:

∂f(u₀, t₀) A Δx.

y por lo tanto:

∂ / ∂x (k ∂T / ∂x (η₀, t₀) + f(u₀, t₀)) A Δx,

corresponde al flujo de calor neto debido a conducción en el segmento y el calor generado en el elemento de volumen, y debe igualar la razón de cambio de la energía acumulada en este elemento por:

cρ Δx A ∂T / ∂t (ξ₀, t₀).

se sigue entonces:

cρ ∂T / ∂t (ξ₀, t₀) = ∂ / ∂x (k ∂T / ∂x (η₀, t₀) + f(u₀, t₀)),

y si Δx → 0, entonces ξ₀, η₀ y u₀ tienden a x₀

∴ cρ ∂T / ∂t (x₀, t₀) = ∂ / ∂x (k ∂T / ∂x (x₀, t₀) + f(x₀, t₀)). (3)

esta última expresión, la ecuación de calor involucrando energía generada en el sólido, es la que utilizaremos para el desarrollo que sigue del modelo.

3. FLUJO PERIÓDICO SOBRE UN SÓLIDO SEMI-INFINITO.

Para el modelo, por simplicidad, veremos el flujo externo de calor que calienta la superficie de la tierra como una función periódica del tiempo. Nos interesa, involucrando fuentes internas de energía, determinar ese flujo periódico, y en esta sección utilizaremos el método de transformada de Laplace, encontraremos una expresión del flujo en términos de la temperatura en la superficie.

Consideremos la siguiente situación:

Un sólido semi-infinito $x > 0$ de densidad ρ , conductividad k y calor específico c , es "excitado" en su superficie $x=0$ por un flujo de calor $F(t)$. Si $T(x,t)$ es la temperatura en el sólido, $f(x,t)$ la fuente interna de calor (que posteriormente simplificaremos asumiendo la independencia del tiempo) y $A(x)$ la temperatura inicial (que después consideraremos constante), entonces, por (3), se satisface la ecuación de calor:

$$\rho c \frac{\partial T(x,t)}{\partial t} = \frac{\partial}{\partial x} \left(k \frac{\partial T(x,t)}{\partial x} + f(x,t) \right) \quad (4)$$

$$\text{con condiciones: } T(x,0) = A(x) \quad \forall x > 0 \quad (5)$$

$$-k \frac{\partial T(0,t)}{\partial x} = F(t) \quad \forall t > 0. \quad (6)$$

El problema que resolveremos es el siguiente: suponiendo que $T(0,t)$ es una función periódica escalonada, determinar la parte periódica del flujo $F(t)$. Dividiremos el desarrollo en varios pasos.

3.1 Solución para $T(0,t)$ de la ecuación (4) con condiciones (5) y (6).

El siguiente método soluciona la ecuación por medio de una "transformación de compatibilidad" y está basado principalmente en un desarrollo por G. Doetsch.

Comenzamos amplificando la ecuación (4).

Sea $D = \frac{k}{\rho c}$ la difusividad térmica y $P = \sqrt{\rho c k}$ la inercia térmica, y hagamos el cambio de variable $z = x/\sqrt{D}$.

$$\text{entonces, de (4): } \frac{\partial T(x,t)}{\partial t} = \frac{k}{\rho c} \frac{\partial^2 T(x,t)}{\partial x^2} + \frac{1}{\rho c} \frac{\partial f(x,t)}{\partial x}$$

$$\forall z: \frac{\partial T(z\sqrt{D}, t)}{\partial t} = \frac{\partial^2 T(z\sqrt{D}, t)}{\partial z^2} + \frac{1}{P} \frac{\partial f(z\sqrt{D}, t)}{\partial z}.$$

$$\text{si ahora llamamos: } \theta(z, t) = T(z\sqrt{D}, t)$$

$$f_1(z, t) = f(z\sqrt{D}, t)$$

$$G(z, t) = \frac{1}{P} \left(\frac{\partial f_1}{\partial z}(z, t) \right)$$

$$y \quad A_1(z) = A(z\sqrt{D})$$

entonces la ecuación está dada por:

$$\frac{\partial H}{\partial t}(z, t) = \frac{\partial^2 H}{\partial z^2}(z, t) + G(z, t) \quad (2)$$

con condiciones: $H(z, 0) = A_1(z)$

$$-P \frac{\partial H}{\partial z}(0, t) = F(t)$$

Tomamos a $H(0, t) = B(t)$ y $\frac{\partial H}{\partial z}(0, t) = B_1(t)$.

Ahora, si una función $H(z, t)$ real o compleja satisface:

- $H(z, t)$ está definida para $z, t \geq 0$.
- $H(z, t)$ es absolutamente integrable para cualquier dominio finito: $0 < z < z_0$, $0 < t < t_0$.
- Existen $u_0, v_0 \in \mathbb{C}$ tales que converge la integral:

$$\int_0^{\infty} \int_0^{\infty} e^{-u_0 z - v_0 t} H(z, t) dz dt$$

(en cuyo caso denotamos por $R(u_0, v_0) = \{ (u, v) \in \mathbb{C}^2 \mid \operatorname{Re} u > \operatorname{Re} u_0, \operatorname{Re} v > \operatorname{Re} v_0 \}$)

entonces el teorema de Anstettio asegura que:

- $\mathcal{L}^2(H(z, t))$ existe $\forall (u, v) \in R(u_0, v_0)$
- $\mathcal{L}^2(H(z, t))$ es una función analítica en $R(u_0, v_0)$
- se satisface $\mathcal{L}_u(\mathcal{L}_v(H(z, t))) = \mathcal{L}_v(\mathcal{L}_u(H(z, t))) = \mathcal{L}^2(H(z, t))$

donde $\mathcal{L}^2(H(z, t)) = \int_0^{\infty} \int_0^{\infty} e^{-uz - vt} H(z, t) dz dt$ es la transformada de Laplace de $H(z, t)$

y $\mathcal{L}_u(H(z, t)) = \int_0^{\infty} e^{-uz} H(z, t) dz$ y $\mathcal{L}_v(H(z, t)) = \int_0^{\infty} e^{-vt} H(z, t) dt$ la transformada con respecto a cada variable.

La notación que usaremos para las variables es:

$$\mathcal{L}^2(H(z, t)) = h(u, v)$$

$$\mathcal{L}_u(H(z, t)) = h_1(u, t)$$

$$\mathcal{L}_v(H(z, t)) = h_2(z, v)$$

y para una variable:

$$\mathcal{L}(H(t)) = \tilde{H}(u) = h(u) = \int_0^{\infty} e^{-ut} H(t) dt.$$

suponemos que $H(x,t)$, $\frac{\partial H}{\partial t}(x,t)$ y $\frac{\partial^2 H}{\partial x^2}(x,t)$ y $G(x,t)$ satisfacen las tres condiciones del teorema.

Calculando la transformada de Laplace en ambos miembros de (7), obtenemos:

$$v h(u, v) - h_1(u, 0) = u^2 h(u, v) - u h_2(0, v) - \frac{\partial h_2(0, v)}{\partial x} + g(u, v) \quad (8)$$

ya que:

$$\mathcal{L}^x \left(\frac{\partial H}{\partial t}(x, t) \right) = \mathcal{L}_u^x (v h_2(x, v) - H(x, 0)) = v h(u, v) - h_1(u, 0)$$

$$\text{y } \mathcal{L}^x \left(\frac{\partial^2 H}{\partial x^2}(x, t) \right) = \mathcal{L}_u^x (u^2 h_1(u, t) - u H(0, t) - \frac{\partial H(0, t)}{\partial x}) = u^2 h(u, v) - u h_2(0, v) - \frac{\partial h_2(0, v)}{\partial x}.$$

ahora, claramente se tiene:

$$\tilde{A}_1(u) = h_1(u, 0)$$

$$\tilde{B}(v) = h_2(0, v)$$

$$\tilde{B}_1(v) = \frac{\partial h_2(0, v)}{\partial x}.$$

$$\therefore \text{de (8): } h(u, v) = \frac{-\tilde{A}_1(u) + u \tilde{B}(v) + \tilde{B}_1(v) - g(u, v)}{u^2 - v}. \quad (9)$$

Para que $h(u, v)$ sea analítica en un entorno de la forma $R(u_0, v_0)$, se debe ampliar el numerador en (9) para aquellos valores tales que $u^2 = v$. Si $u = \sqrt{v}$ entonces $Re v$ puede ser suficientemente grande para que $(u, v) \in R(u_0, v_0)$ mientras que si $u = -\sqrt{v}$ esta afirmación no se puede asegurar.

Podemos entonces la condición:

$$-\tilde{A}_1(\sqrt{v}) + \sqrt{v} \tilde{B}(v) + \tilde{B}_1(v) - g(\sqrt{v}, v) = 0$$

lo cual es equivalente a:

$$\frac{-\tilde{A}_1(\sqrt{v})}{\sqrt{v}} + \tilde{B}(v) + \frac{\tilde{B}_1(v)}{\sqrt{v}} - \frac{g(\sqrt{v}, v)}{\sqrt{v}} = 0. \quad (10)$$

ahora, para encontrar la antitransformada de cada factor:

(1) Si $\chi(z, t) = \frac{e^{-z^2/4t}}{\sqrt{\pi t}}$ (Usando la solución elemental de la ecuación de calor)

entonces $\mathcal{L}_v(\chi(z, t)) = \frac{e^{-z\sqrt{v}}}{\sqrt{v}}$ ($\operatorname{Re} z^2 > 0$ y $\operatorname{Re} v > 0$)

$$\begin{aligned} \therefore \frac{\tilde{A}_1(\sqrt{v})}{\sqrt{v}} &= \int_0^\infty \frac{e^{-z\sqrt{v}}}{\sqrt{v}} A_1(z) dz = \int_0^\infty \left(\int_0^\infty e^{-vt} \chi(z, t) dt \right) A_1(z) dz \\ &= \int_0^\infty e^{-vt} \left(\int_0^\infty \chi(z, t) A_1(z) dz \right) dt \end{aligned}$$

$$\therefore \frac{\tilde{A}_1(\sqrt{v})}{\sqrt{v}} = \mathcal{L} \left(\int_0^\infty \chi(z, t) A_1(z) dz \right).$$

(2) Análogamente: $\frac{q(\sqrt{v}, v)}{\sqrt{v}} = \int_0^\infty \frac{e^{-z\sqrt{v}}}{\sqrt{v}} \left(\int_0^\infty e^{-vy} G(z, y) dy \right) dz$

$$\begin{aligned} &= \int_0^\infty \left(\int_0^\infty e^{-vs} \chi(z, s) ds \right) \left(\int_0^\infty e^{-vy} G(z, y) dy \right) dz \\ &= \int_0^\infty \left(\int_0^\infty e^{-vt} \chi(z, t) dt \right) G(z, t) dz \\ &= \int_0^\infty e^{-vt} \left(\int_0^\infty \chi(z, t) G(z, t) dz \right) dt \end{aligned}$$

con "*" la convolución, i.e. $(f * g)(t) = \int_0^t f(t-s)g(s)ds$.

$$\therefore \frac{q(\sqrt{v}, v)}{\sqrt{v}} = \mathcal{L} \left(\int_0^\infty \chi(z, t) G(z, t) dz \right)$$

(3) Como $\mathcal{L} \left(\frac{1}{\sqrt{\pi t}} \right) = \frac{1}{\sqrt{v}}$ ($\operatorname{Re} v > 0$) se tiene: $\mathcal{L} \left(\frac{1}{\sqrt{\pi t}} * B_1(t) \right) = \frac{\tilde{B}_1(v)}{\sqrt{v}}$

\therefore se sigue de (10) que:

$$B(t) = \int_0^\infty \chi(z, t) A_1(z) dz - \frac{1}{\sqrt{\pi t}} * B_1(t) + \int_0^\infty \chi(z, t) G(z, t) dz.$$

$$\therefore B(t) = \int_0^\infty \chi(z, t) A_1(z) dz + \int_0^\infty \chi(z, t) G(z, t) dz - \frac{1}{\sqrt{\pi t}} * F(t) \quad \text{por (7)}.$$

Ahora, simplificaremos el problema para encontrar una expresión explícita de los dos primeros integrales. Supondremos que la temperatura inicial $A(x) = A$ es constante y que la fuente interna de calor $f(x, t) = f(x)$ no depende del tiempo.

Se obtiene entonces:

Para la primera integral,

$$\int_0^{\infty} x(z, t) A_1(z) dz = A \int_0^{\infty} \frac{e^{-z^2/4t}}{\sqrt{\pi t}} dz = \frac{2A\sqrt{t}}{\sqrt{\pi t}} \int_0^{\infty} e^{-u^2} du \quad (\text{con } u = z/2\sqrt{t})$$

$$= \frac{2A}{\sqrt{\pi}} \cdot \frac{\sqrt{\pi}}{2} = A$$

Para la segunda, sea $Q(t) = \int_0^{\infty} x(z, t) * G(z, t) dz$ y $J(z, t) = \int_0^t x(t, t-s) ds$.

Como $f(x, t) = f(x)$ entonces $Q(t) = \int_0^{\infty} G(z) J(z, t) dz$.

Para resolver $J(z, t)$, sea $r = t-s$.

$$\therefore J(z, t) = \int_0^t \frac{e^{-z^2/4(t-s)}}{\sqrt{\pi(t-s)}} ds = \frac{1}{\sqrt{\pi}} \int_0^t \frac{e^{-z^2/4r}}{\sqrt{r}} dr$$

$$= \frac{1}{\sqrt{\pi}} \int_{1/2}^{\infty} u^{-3/2} e^{-z^2 u/4} du \quad (\text{con } u = 1/r)$$

$$= \frac{1}{\sqrt{\pi}} \int_0^{\infty} u^{-3/2} e^{-z^2 u/4} du \quad (\text{suponemos que } t \rightarrow \infty)$$

$$= \frac{1}{\sqrt{\pi}} \frac{\Gamma(-1/2)}{2} \quad \left(\int_0^{\infty} x^{\alpha} e^{-ax} dx = \frac{\Gamma(\alpha+1)}{a^{\alpha+1}}, a > 0; \Gamma \text{ la función gamma} \right)$$

$$= -z \quad (\Gamma(-1/2) = -2\sqrt{\pi})$$

$\therefore Q(t) = - \int_0^{\infty} z G(z) dz$, que no depende de t . Sea $Q = Q(t)$.

Ahora, por como está definida G , $\int_0^{\infty} z G(z) dz = \frac{1}{P} \int_0^{\infty} z \frac{df(z)}{dz} dz$.

Integrando por partes:

$$Q = - \left(\frac{1}{P} \lim_{x \rightarrow \infty} (x f_1(x) - 0 \cdot f_1) \right) - \frac{1}{P} \int_0^{\infty} f_1(z) dz$$

$$= \frac{1}{P} \int_0^{\infty} f_1(z) dz \quad (\text{suponemos que } x f_1(x) \rightarrow 0 \text{ si } x \rightarrow \infty)$$

$$= \frac{1}{P\sqrt{D}} \int_0^{\infty} f(x) dx \quad (\because z = \sqrt{D})$$

$$\therefore Q = \frac{1}{k} \int_0^{\infty} f(x) dx.$$

De estos dos resultados se obtiene:

$$B(t) = (A + Q) + \frac{1}{P\sqrt{Dt}} * F(t).$$

(ii)

Hasta este punto tenemos expresada la temperatura en la superficie en términos de una convolución y el flujo. Si ahora suponemos que la temperatura en la superficie es una función periódica (escalariada), podremos expresar ese flujo como la suma de una función periódica y una función transiente. Lo que nos interesa es el valor de la primera.

Definamos primero:

$$V(t) = T(t, t) - A - G \quad \forall t > 0.$$

se sigue entonces que:

$$V(t) = \frac{1}{P\sqrt{\pi t}} * F(t)$$

y sacando transformada de Laplace,

$$\tilde{V}(s) = P\sqrt{s} \tilde{F}(s) \quad (11')$$

Lo resolvemos primero para una función periódica particular y después lo generalizamos para el caso que nos interesa.

3.2 Solución del flujo periódico para un caso particular.

Supongamos que $V(t)$ es de la siguiente forma:

existen $n \in \mathbb{N}$, $t_1 > 0$ y $V_0 \neq 0$ tales que, si $\tau = n\tau_1$, entonces $\forall n = 0, 1, 2, \dots$ se tiene:

$$\begin{aligned} V(t) &= V_0 & t \in [n\tau, (n+1)\tau) \\ &= 0 & t \in [n\tau + t_1, (n+1)\tau) \end{aligned}$$

$$\therefore \tilde{V}(s) = \frac{V_0 (1 - e^{-st_1})}{s(1 - e^{-s\tau})}$$

y de (11') se sigue que:

$$\tilde{F}(s) = \frac{PV_0}{\sqrt{s}} \frac{(1 - e^{-st_1})}{(1 - e^{-s\tau})} \quad (12)$$

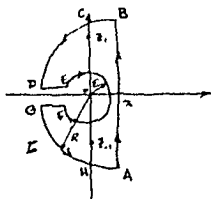
sea $w(s) = \frac{1 - e^{-st_1}}{\sqrt{s}(1 - e^{-s\tau})}$ y escogamos la rama principal del log: $-\pi \leq \arg s < \pi$.

Por la fórmula de Mellin para la inversa de la transformada de Laplace,

$$F(t) = \frac{PV_0}{2\pi i} \int_{x-i\infty}^{x+i\infty} \frac{(1 - e^{-st_1}) e^{st}}{\sqrt{s}(1 - e^{-s\tau})} ds = \frac{PV_0}{2\pi i} \int_{x-i\infty}^{x+i\infty} e^{st} w(s) ds,$$

y como $w(s)$ tiene polos en $z_n = \frac{2n\pi i}{\tau}$ $\forall n \in \mathbb{Z} - \{0\}$ y punto rama en $z_0 = 0$, cualquier real positivo x puede servir de abscisa.

Consideremos el contorno Γ cerrado de la figura:



La función $w(s)$ es univaluada y analítica en el interior de Γ con excepciones de $z_n = \frac{2n\pi i}{\tau} \quad \forall n \in \mathbb{Z} - \{0\}$.

Por el teorema del residuo, la integral a lo largo de Γ es igual a $2\pi i$ por la suma de los residuos en los polos, que podemos calcular explícitamente:

$$\text{si } g(s) = (1 - e^{-st}) e^{st} \quad \text{y } h(s) = \sqrt{s} (1 - e^{-\tau s})$$

ambas funciones son analíticas en z_n ($n \neq 0$), $g(z_n) \neq 0$, $h(z_n) = 0$ y $h'(z_n) = \sqrt{2n\pi i} \neq 0 \quad \forall n \neq 0$.

\therefore los polos de $w(s) e^{st} = \frac{g(s)}{h(s)}$ son simples, y:

$$\text{Res}(w(s) e^{st}, z_n) = \frac{g(z_n)}{h'(z_n)} = \frac{(1 - e^{-\frac{2n\pi i t}{\tau}}) (e^{\frac{2n\pi i t}{\tau}})}{\sqrt{2n\pi i}} \quad \forall n \in \mathbb{Z} - \{0\}.$$

Lo cual $\forall n \neq 0$ es una función periódica de t de período τ . La solución del flujo periódico que buscamos, expresado como una serie de Fourier, corresponde a la suma de estos residuos. Para evitar una suma (debido que su convergencia es muy lenta) utilizaremos el método propuesto por Deserget:

si llamamos a $F_F(t)$ ese flujo periódico, es decir:

$$F_F(t) = \lim_{\substack{R \rightarrow \infty \\ \epsilon \rightarrow 0}} \frac{PV_0}{2\pi i} \int_{\Gamma} w(s) e^{st} ds, \quad (t > 0)$$

entonces:

- (1) como $w(s)$ tiende uniformemente a cero si $|z| \rightarrow \infty$ en $\pi/2 \leq \arg s < 3\pi/2$, se sigue por el lema de Jordan que la integral sobre CD y GH tiende a cero si $R \rightarrow \infty$.
- (2) como e^{st} está acotada a lo largo de BC y HA y $w(s)$ tiende uniformemente a cero en esos arcos si $|s| \rightarrow \infty$, la integral sobre BC y HA también se anula si $R \rightarrow \infty$.
- (3) En EF el integrando está acotado y la longitud de la trayectoria de integración converge a cero si $\epsilon \rightarrow 0$ \therefore esta integral también se anula si $\epsilon \rightarrow 0$.

∴ las curvas contribuyentes son a lo largo de AB, DE y FG. i.e.:

$$F_T(t) = \frac{PV_0}{2\pi i} \int_{\alpha-i\infty}^{\alpha+i\infty} w(s) e^{st} ds + \frac{PV_0}{2\pi i} \lim_{\substack{R \rightarrow \infty \\ \epsilon \rightarrow 0}} \left(\int_{DE} w(s) e^{st} ds + \int_{FG} w(s) e^{st} ds \right).$$

La primera integral corresponde a $F(t)$.

Para calcular las otras dos, parametricemos DE por $Y_1(s) = se^{i\epsilon}$ donde s var de R a ϵ , y a FG por

$Y_2(s) = se^{-i\epsilon}$ donde s var de ϵ a R .

$$\therefore \int_{Y_1} w(s) e^{st} ds = - \int_R^\epsilon \frac{e^{-st}(1-e^{st})}{i\sqrt{s}(1-e^{i\epsilon t})} ds = -i \int_\epsilon^R \frac{e^{-st}(1-e^{st})}{\sqrt{s}(1-e^{i\epsilon t})} ds$$

$$\text{y } \int_{Y_2} w(s) e^{st} ds = \int_\epsilon^R \frac{e^{-st}(1-e^{st})}{i\sqrt{s}(1-e^{i\epsilon t})} ds = -i \int_\epsilon^R \frac{e^{-st}(1-e^{st})}{\sqrt{s}(1-e^{i\epsilon t})} ds$$

$$\therefore F_T(t) = F(t) - \frac{PV_0}{\pi} \int_0^\infty \frac{e^{-st}(1-e^{st})}{\sqrt{s}(1-e^{i\epsilon t})} ds \quad (\forall t > 0) \quad (13)$$

es decir, el flujo es la suma de una función periódica y una transiente, de donde queda claro que para el modelo, bastará si consideramos al flujo como periódico. Queremos calcular ahora $F_T(t)$ $\forall t > 0$ pero por ser periódica será suficiente hacerlo en $0 < t < \tau$. Calculemos entonces $F(t)$ en ese intervalo:

$$\text{Sea } h(t) = \frac{1}{V_0 \sqrt{\pi t}} + v(t) \quad \therefore \tilde{h}(s) = \frac{\tilde{v}(s)}{V_0 \sqrt{s}}$$

y de (12) se sigue que $\tilde{F}(s) = PV_0 s \tilde{h}(s) = PV_0 (s \tilde{h}(s) - h(0))$.

$$\therefore F(t) = PV_0 h'(t).$$

$$\text{Ahora, si } 0 < t < t_1, \quad h(t) = \frac{1}{V_0 \sqrt{\pi}} \int_0^t \frac{v(s) ds}{\sqrt{t-s}} = \frac{1}{\sqrt{\pi}} \int_0^t \frac{ds}{\sqrt{t-s}} = \frac{2\sqrt{t}}{\sqrt{\pi}}$$

$$\text{y si } t_1 < t < \tau, \quad h(t) = \frac{1}{V_0 \sqrt{\pi}} \int_0^{t_1} \frac{v(s) ds}{\sqrt{t-s}} + \frac{1}{\sqrt{\pi}} \int_{t_1}^t \frac{ds}{\sqrt{t-s}} = \frac{2\sqrt{t}}{\sqrt{\pi}} - \frac{2\sqrt{t-t_1}}{\sqrt{\pi}}$$

$$\therefore F(t) = \frac{2PV_0}{\sqrt{\pi}} \cdot \frac{d}{dt} (\sqrt{t}) = \frac{PV_0}{\sqrt{\pi t}} \quad \text{si } 0 < t < t_1$$

$$= \frac{2PV_0}{\sqrt{\pi}} \cdot \frac{d}{dt} (\sqrt{t-t_1}) = \frac{PV_0}{\sqrt{\pi t}} \left(\frac{1}{\sqrt{t}} - \frac{1}{\sqrt{t-t_1}} \right) \quad \text{si } t_1 < t < \tau. \quad (14)$$

Este valor de $F(t)$ nos permite calcular el de $\hat{F}_n(t)$ por (13), para $t \in [t_{n-1}, t_n)$ excepto en $t=0$ y $t=t_n$, donde hay discontinuidad. Calculemos entonces su promedio para cada intervalo:

$$\text{Sea } \hat{F}_n = \frac{1}{t_n} \int_{t_{n-1}}^{t_n} F(t) dt \quad (\forall n \in \{1, 2, \dots, N\}).$$

$$\therefore \hat{F}_1 = \frac{1}{t_1} \int_0^{t_1} \frac{PV_0}{\sqrt{\pi t}} dt = \frac{2PV_0 \sqrt{t_1}}{\sqrt{\pi}} = \frac{2PV_0 \sqrt{N}}{\sqrt{\pi T}}$$

y si $n=2, 3, \dots, N$:

$$\begin{aligned} \hat{F}_n &= \frac{1}{t_n} \int_{t_{n-1}}^{t_n} \frac{PV_0}{\sqrt{\pi t}} \left(\frac{1}{\sqrt{t}} - \frac{1}{\sqrt{t-t_1}} \right) dt & (15) \\ &= \frac{2PV_0}{\sqrt{\pi} t_n} \left(\sqrt{t_n} - \sqrt{t_n-t_1} - \sqrt{t_{n-1}} + \sqrt{t_{n-1}-t_1} \right) \\ &= \frac{2PV_0}{\sqrt{\pi} t_n} \left(\sqrt{nt_1} - \sqrt{nt_1-t_1} - \sqrt{(n-1)t_1} + \sqrt{(n-1)t_1-t_1} \right) \\ &= \frac{2PV_0 \sqrt{N}}{\sqrt{\pi T}} \left(\sqrt{n} - 2\sqrt{n-1} + \sqrt{n-2} \right) \end{aligned}$$

Calculemos ahora el promedio en cada intervalo de la parte transiente de (13):

$$\text{Sea } F_T(t) = \frac{PV_0}{\pi} \int_0^{\infty} \frac{e^{-st} (1 - e^{st_1})}{\sqrt{s} (1 - e^{sT})} ds \quad \forall t > 0.$$

$$\text{y } \hat{F}_T(n) = \frac{1}{t_n} \int_{t_{n-1}}^{t_n} F_T(t) dt \quad (n \in \{1, 2, \dots, N\}).$$

$$\text{caso: } \int_{t_{n-1}}^{t_n} e^{-st} dt = \frac{e^{-snt_1} (e^{st_1} - 1)}{s}, \text{ se tiene entonces:}$$

$$\begin{aligned} \hat{F}_T(n) &= \frac{PV_0}{\pi t_n} \int_0^{\infty} \frac{e^{-snt_1} (e^{st_1} - 1) (1 - e^{sT})}{s^{3/2} (1 - e^{sT})} ds & (n=1, 2, \dots, N) \\ &= \frac{PV_0}{\pi t_n} \int_0^{\infty} \frac{e^{-\xi^2/n} (e^{\xi^2/N} - 1) (1 - e^{\xi^2/N})}{\frac{\xi^3}{(Nt_1)^{3/2}} (1 - e^{\xi^2})} \frac{2\xi}{Nt_1} d\xi & (\text{haciendo } \xi^2 = snt_1) \\ &= \frac{2PV_0 \sqrt{Nt_1}}{\pi t_n} \int_0^{\infty} \frac{e^{-\xi^2/n} (e^{\xi^2/N} - 1) (1 - e^{\xi^2/N})}{\xi^2 (1 - e^{\xi^2})} d\xi \end{aligned}$$

Ahora,

$$\frac{1 - e^{\xi^2/N}}{1 - e^{\xi^2}} = \frac{e^{\xi^2/N} - 1}{e^{\xi^2} \left(1 - \frac{1}{e^{\xi^2}}\right)} = \frac{e^{-\xi^2} (e^{\xi^2/N} - 1)}{1 - e^{-\xi^2}} = \frac{e^{-(n-1)\xi^2/N} - e^{-\xi^2}}{1 - e^{-\xi^2}}$$

$$\text{y } e^{-\xi^2/N} (e^{\xi^2/N} - 1) = e^{-\xi^2(n-1)/N} (1 - e^{-\xi^2/N})$$

$$\therefore \hat{F}_T(n) = \frac{2PV_0\sqrt{N}}{\pi\sqrt{t_1}} \int_0^{\infty} \frac{e^{-(n-1)\xi^2/N} (1 - e^{-\xi^2/N}) (e^{-(n-1)\xi^2/N} - e^{-\xi^2})}{\xi^2 (1 - e^{-\xi^2})} d\xi \quad (16)$$

Entonces, las expresiones en (15) y (16) corresponden al flujo promedio y al flujo transiente promedio. De (13) se sigue que, definiendo analógicamente el flujo periódico promedio, llegamos a:

$$\hat{F}_P(n) = \frac{1}{t_1} \int_{t_{n-1}}^{t_n} F_P(t) dt = \hat{F}_n - \hat{F}_T(n) \quad n=1,2,\dots,N.$$

y si definimos:

$$Q_1 = 2\sqrt{N} - \frac{2N}{\sqrt{\pi}} \int_0^{\infty} \frac{(1 - e^{-\xi^2/N}) (e^{-(n-1)\xi^2/N} - e^{-\xi^2})}{\xi^2 (1 - e^{-\xi^2})} d\xi$$

y para $n=2,3,\dots,N$:

$$Q_n = 2(\sqrt{n} + \sqrt{n-2} - 2\sqrt{n-1})\sqrt{N} - \frac{2N}{\sqrt{\pi}} \int_0^{\infty} \frac{e^{-(n-1)\xi^2/N} (1 - e^{-\xi^2/N}) (e^{-(n-1)\xi^2/N} - e^{-\xi^2})}{\xi^2 (1 - e^{-\xi^2})} d\xi$$

entonces:

$$\hat{F}_P(n) = \frac{PV_0}{\sqrt{\pi\tau}} \cdot Q_n \quad (n=1,2,\dots,N)$$

3.3 Solución del flujo periódico: caso general

Supongamos ahora que $V(t)$ está dada por:

$$V(t) = V_n \quad k\tau + t_n \leq t < k\tau + t_{n+1} \quad \forall k=0,1,2,\dots$$

donde $t_n = n\tau$ ($n=0,1,\dots,N$), $t_1 > 0$ y $t_N = \tau$.

\therefore la transformada de Laplace de $V(t)$ está dada por:

$$\tilde{V}(s) = \frac{(1 - e^{-st_1})}{s(1 - e^{-s\tau})} \sum_{k=0}^{N-1} V_k e^{-st_k}, \quad \text{y por (11):}$$

$$\tilde{F}(s) = \frac{P(1 - e^{-st_1})}{\sqrt{s}(1 - e^{-s\tau})} \sum_{k=0}^{N-1} V_k e^{-st_k}$$

Ahora, el comportamiento de la transformada de Laplace en una traslación es:

$$\mathcal{L}(F(t-a)) = e^{-as} \tilde{F}(s) \quad \text{donde } F(t) = 0 \text{ si } t < 0; \quad a > 0.$$

∴ si $\Psi(t)$ es la autotransformada de: $\frac{P(1 - e^{-st_1})}{\sqrt{s}(1 - e^{-s\tau})}$, se sigue, por ser la transformada un operador lineal, que:

$$F(t) = \sum_{k=0}^{n-1} V_k \Psi(t - t_k) \quad \text{si } t_{n-1} \leq t < t_n \quad (n=1, 2, \dots, N)$$

$$= \sum_{k=0}^{N-1} V_k \Psi(t - t_k) \quad \text{si } t \geq \tau.$$

Ahora, $\Psi(t)$ coincide con la función $F(t)$ del caso anterior con $V_0 = 1$ (ver (12)) y por lo tanto:

$$\Psi(t) = \Psi_p(t) + \Psi_\tau(t) \quad \forall t > 0 \quad \text{con } \Psi_p(z) \text{ periódica de período } \tau \quad (\text{ver (13)}).$$

∴ $\forall t \geq \tau$, la parte periódica del flujo está dada por:

$$F_p(t) = \sum_{k=0}^{n-1} V_k \Psi_p(t - t_k)$$

$$\text{y por ser periódica, } \forall t < \tau \quad F_p(t) = \sum_{k=0}^{n-1} V_k \Psi_p(\tau + t - t_k)$$

lo cual es equivalente a:

$$F_p(t) = \sum_{k=0}^{n-1} V_k \Psi_p(t - t_k) + \sum_{k=n}^{N-1} V_k \Psi_p(\tau + t - t_k) \quad \text{si } t_{n-1} \leq t < t_n \quad (n=1, 2, \dots, N).$$

∴ si como en el caso anterior hacemos:

$$\hat{\Psi}_n = \frac{1}{t_1} \int_{t_{n-1}}^{t_n} \Psi(t) dt \quad \text{y} \quad \hat{\Psi}_\tau(n) = \frac{1}{t_1} \int_{t_{n-1}}^{t_n} \Psi_\tau(t) dt, \quad \text{entonces:}$$

$$\hat{F}_p(n) := \frac{1}{t_1} \int_{t_{n-1}}^{t_n} F_p(t) dt = \sum_{k=0}^{n-1} V_k (\hat{\Psi}_{n-k} - \hat{\Psi}_\tau(n-k)) + \sum_{k=n}^{N-1} V_k (\hat{\Psi}_{N+n-k} - \hat{\Psi}_\tau(N+n-k)).$$

Las funciones $\hat{\Psi}_n$ y $\hat{\Psi}_\tau(n)$ están dadas por (15) y (16) y por como están definidas $\varphi_i: \mathbb{R}^N$, se llega finalmente a:

$$\hat{F}_p(n) = \frac{P}{\sqrt{t_1} \tau} \sum_{k=0}^{n-1} V_k \varphi_{n-k} + \frac{P}{\sqrt{t_1} \tau} \sum_{k=n}^{N-1} V_k \varphi_{N+n-k} \quad \forall n=1, 2, \dots, N. \quad (17)$$

4. EL MODELO.

Para el flujo periódico $F_p(t)$ que derivamos en la sección anterior, Watson utiliza la siguiente expresión:

$$F_p(t) = S_0(1-a)(1-c_1)\Psi(t) + Q - \epsilon\sigma V^4(t) + CR(t) \quad (t > 0) \quad (17)$$

donde:

S_0 : constante solar. (1367 watt/m^2)

a : albedo terrestre. ($0 \leq a \leq 1$)

c_1 : factor de cobertura nubosa. ($0 \leq c_1 \leq 1$)

$\Psi(t)$: flujo solar de onda corta.

Q : flujo geotérmico constante. (watt/m^2)

ϵ : emisividad promedio de la tierra.

σ : constante de Stefan-Boltzmann. ($(5.6688) \cdot 10^{-8} \text{ watt/m}^2 \cdot \text{K}^4$)

$V(t)$: temperatura en la superficie.

$CR(t)$: flujo absorbido de onda larga.

Si hacemos $R(t)$: radiación neta absorbida (flujo solar de onda corta q atmosférico de onda larga) más flujo geotérmico, se tiene:

$$F_p(t) + \epsilon\sigma V^4(t) - R(t) = 0 \quad (t > 0)$$

Así, en la siguiente sección se probará que $\sum_{n=0}^{\infty} \Phi_n = 0$, por lo que, despreciando el valor de $V(t)$ en (17) con respecto a la temperatura en la superficie, $T(t)$, y las constantes A y b de la ecuación (11) se llega a la misma expresión de (17) con B_k en vez de V_k . Consideraremos entonces, como en (17) que $V(t)$ es la temperatura en la superficie. Combinando las dos expresiones para el flujo, se obtiene:

$$\frac{P}{\sqrt{\pi}\epsilon} \left(\sum_{k=0}^{n-1} V_k \Phi_{n-k} + \sum_{k=n}^{N-1} V_k \Phi_{n-k} \right) + \epsilon\sigma V_{n-1}^4 - R_{n-1} = 0 \quad (n=1, 2, \dots, N) \quad (18)$$

que es la ecuación que analizaremos.

3 ANÁLISIS DE LA ECUACIÓN1. INTRODUCCIÓN

Antes de explicar el desarrollo del capítulo por conveniencia cambiaremos la notación de (17) y (18) y, para poder manipular más fácilmente la ecuación que derivamos en la sección anterior, definiremos nuevas variables que simplifiquen la expresión.

Si hacemos en (17) $q_n := \Phi_{n+1}$ y $F_F(n) = F_F(n+1)$ ($n=0, 1, \dots, N-1$) o sea:

$$q_0 = 2\sqrt{N} - \frac{2N}{\sqrt{\pi}} \int_0^{\pi} \frac{(1 - e^{-\xi^2/N})(e^{-(N-1)\xi^2/N} - e^{-\xi^2})}{\xi^2(1 - e^{-\xi^2})} d\xi,$$

y para $n=1, \dots, N-1$:

$$q_n = 2\sqrt{N}(\sqrt{n-1} - 2\sqrt{n} + \sqrt{n+1}) - \frac{2N}{\sqrt{\pi}} \int_0^{\pi} \frac{e^{-n\xi^2/N}(1 - e^{-\xi^2/N})(e^{-(n-1)\xi^2/N} - e^{-\xi^2})}{\xi^2(1 - e^{-\xi^2})} d\xi$$

y, para $n=0, 1, \dots, N-1$:

$$(\Phi * V)_n = \sum_{k=0}^n V_k q_{n-k} + \sum_{k=n+1}^{N-1} V_k q_{n+n-k},$$

entonces (17) corresponde a:

$$\hat{F}_F(n) = \frac{P}{\sqrt{\pi E}} (\Phi * V)_n \quad (n=0, 1, \dots, N-1).$$

En (18) hagamos:

$$\bar{R} = \frac{\sum_{n=0}^{N-1} R_n}{N}, \quad V^* = \left(\frac{\bar{R}}{E\sigma} \right)^{1/4}, \quad u = \frac{\sqrt{\pi E}}{P}$$

$$v_n = \frac{V_n}{V^*}, \quad r_n = \frac{R_n}{\bar{R}} \quad \text{y} \quad \alpha = \frac{E\sigma\sqrt{\pi E}}{P} (V^*)^2$$

(α es adimensional y no negativo).

Entonces, $\forall n \in \{0, 1, \dots, N-1\}$ se tiene:

$$\frac{\gamma}{\sqrt{\epsilon \mu}} (\mathbf{q} \cdot \mathbf{v})_n + \epsilon \sigma \sqrt{\mu} V_n^4 - R_n = 0$$

$$\therefore (\mathbf{q} \cdot \mathbf{v})_n + \epsilon \sigma \mu V_n^4 - \mu R_n = 0$$

$$\therefore \mathbf{v}^T (\mathbf{q} \cdot \mathbf{v})_n + \epsilon \sigma \mu V_n^4 (\mathbf{v}^*)^n - \mu \Gamma_n \bar{R} = 0$$

$$\therefore (\mathbf{q} \cdot \mathbf{v})_n + \kappa V_n^4 - \frac{\mu \Gamma_n (\mathbf{v}^*)^n \bar{R}}{(\mathbf{v}^*)^n} = 0$$

$$\therefore (\mathbf{q} \cdot \mathbf{v})_n + \alpha V_n^4 - \alpha \Gamma_n = 0$$

y, expresado matricialmente, estas n ecuaciones equivalen a:

$$\Phi \cdot \mathbf{v} + \alpha \mathbf{v}^4 = \alpha \Gamma,$$

donde:

$$\Phi = \begin{pmatrix} \phi_0 & \phi_{n-1} & \dots & \phi_1 \\ \phi_1 & \phi_0 & \dots & \phi_2 \\ \vdots & \vdots & \ddots & \vdots \\ \phi_{n-1} & \phi_{n-2} & \dots & \phi_0 \end{pmatrix} \text{ (triple-simétrica), } \quad \mathbf{v} = \begin{pmatrix} v_0 \\ v_1 \\ \vdots \\ v_{n-1} \end{pmatrix}, \quad \mathbf{v}^4 = \begin{pmatrix} v_0^4 \\ v_1^4 \\ \vdots \\ v_{n-1}^4 \end{pmatrix} \quad \text{y} \quad \Gamma = \begin{pmatrix} \Gamma_0 \\ \Gamma_1 \\ \vdots \\ \Gamma_{n-1} \end{pmatrix}.$$

Además, como se mencionó en la introducción, nos interesa estudiar propiedades de la función:

$$T: \mathbb{R}^n \rightarrow \mathbb{R}^n \quad \text{dada por: } T(\mathbf{x}) = \Phi \cdot \mathbf{x} + \alpha \mathbf{x}^4 \quad (\forall \mathbf{x} \in \mathbb{R}^n)$$

que ayudan a encontrar la relación que existe entre una diferencia de temperaturas (i.e. la diferencia entre dos componentes del vector \mathbf{v}) y distintos valores de κ y el promedio de imágenes de la función. En este capítulo estudiaremos dos propiedades de $f: \mathbb{R}^n \rightarrow \mathbb{R}^n$ que usaremos frecuentemente y se probará que T restringida a $\Omega = \{ \mathbf{x} = (x_1, \dots, x_n) \in \mathbb{R}^n \mid x_i \geq 0 \ \forall i \in \{1, \dots, n\} \}$ es inyectiva. Nos interesa estudiar $T|_{\Omega}$ ya que bajo esta función el vector (x_1, \dots, x_n) representa la temperatura (grados Kelvin). En la segunda parte se estudia $T(\Omega)$. Caracterizar este conjunto permitirá saber si un conjunto dado de valores corresponde a un punto en la imagen de T y, por lo tanto, a un valor de la forma $\alpha \Gamma$ que a su vez representa, como queda claro por la definición de κ y Γ , a una función que depende del flujo geométrico. El estudio nos va a dar una condición necesaria y una condición suficiente para que, dado un punto en \mathbb{R}^n esté en $T(\Omega)$. En la tercera parte se da una condición suficiente para que, dado $\mathbf{f} = (f_1, \dots, f_n) \in T(\Omega)$, f_i sea máximo. Por último, en la cuarta parte, se presentan los resultados para casos particulares de, fijo $\mathbf{f} \in T(\Omega)$, expresar la diferencia de temperatura máxima y temperatura mínima como función de κ .

comencemos con las dos propiedades de $\{q_n\}$ que usaremos constantemente.

Lema 1: $\forall N \in \mathbb{N}$, $\sum_{n=0}^{N-1} q_n = 0$.

demo:

$$\begin{aligned} \sum_{n=0}^{N-1} q_n &= 2\sqrt{N} \left(1 + \sum_{n=1}^{N-1} (\sqrt{n-1} + \sqrt{n+1} - 2\sqrt{n}) \right) - \frac{2N}{\sqrt{\pi}} \int_0^{\infty} \frac{(1 - e^{-\xi^2/N}) \left(\sum_{n=0}^{N-1} e^{-n\xi^2/N} \right) (e^{-(N-1)\xi^2/N} - e^{-\xi^2})}{(1 - e^{-\xi^2}) \xi^2} d\xi \\ &= 2\sqrt{N} (\sqrt{N} - \sqrt{N-1}) - \frac{2N}{\sqrt{\pi}} \int_0^{\infty} \frac{e^{-(N-1)\xi^2/N} - e^{-\xi^2}}{\xi^2} d\xi \\ &= 2\sqrt{N} (\sqrt{N} - \sqrt{N-1}) - \frac{2N}{\sqrt{\pi}} \left(\frac{1}{2} \sum_{k=1}^{\infty} \frac{\Gamma(k-1/2)}{k! N^k} \right) \\ &= 2N - 2\sqrt{N(N-1)} - \frac{2N}{\sqrt{\pi}} \left(\sqrt{\pi} \left(1 - \sqrt{\frac{N-1}{N}} \right) \right) \\ &= 2N - 2\sqrt{N(N-1)} - 2N + 2\sqrt{N(N-1)} = 0. \end{aligned}$$

Lema 2: Si $N \in \mathbb{N}$, entonces $q_0 > 0$ y $\forall n \in \{1, 2, \dots, N-2\}$ $q_n < q_{n+1} < 0$.

demo:

sea $n \in \{1, 2, \dots, N-2\}$.

$$\therefore q_{n+1} - q_n = 2\sqrt{N} (3\sqrt{n} - 3\sqrt{n+1} + \sqrt{n+2} - \sqrt{n-1}) + \frac{2N}{\sqrt{\pi}} \int_0^{\infty} e^{-n\xi^2/N} (1 - e^{-\xi^2/N}) q(\xi) d\xi$$

$$\text{donde } q(\xi) = \frac{(1 - e^{-\xi^2/N}) (e^{-(N-1)\xi^2/N} - e^{-\xi^2})}{\xi^2 (1 - e^{-\xi^2})} \geq 0 \quad \forall \xi \geq 0.$$

Como el integrando es positivo y como $n \geq 1 \Rightarrow 3\sqrt{n} + \sqrt{n+2} > 3\sqrt{n+1} + \sqrt{n-1}$ se sigue que:
 $q_{n+1} - q_n > 0$.

$$\text{Ahora, } q_{n-1} = 2\sqrt{N} (\sqrt{N-2} - 2\sqrt{N-1} + \sqrt{N}) - \frac{2N}{\sqrt{\pi}} \int_0^{\infty} e^{-(n-1)\xi^2/N} q(\xi) d\xi;$$

como $\sqrt{N(N-2)} < N-1$ entonces $(N-2) + 2\sqrt{N(N-2)} + N < 4(N-1)$ y $\therefore \sqrt{N-2} + \sqrt{N} < 2\sqrt{N-1}$

$\therefore q_{n-1} < 0$ y por lo anterior se sigue que $q_n < q_{n+1} < 0 \quad \forall n = 1, 2, \dots, N-2$.

Por último, por el lema 1 y por esta desigualdad, $\sum_{n=1}^{N-1} q_n = -q_0 < 0$ y $\therefore q_0 > 0$.

Ahora, dada una serie de valores, f_1, \dots, f_n que involucren el flujo geotérmico, resulta importante saber si provienen o no de una única distribución de temperaturas. La siguiente proposición prueba que efectivamente es única la distribución.

Proposición 1: $T: \Omega \rightarrow \mathbb{R}^N$ es 1-1.

Dem:

Denotemos a T_1, \dots, T_n las componentes de T , i.e. $\forall x \in \Omega$ $T(x) = (T_1(x), \dots, T_n(x))$, y sea $I = \{1, 2, \dots, N\}$.

\therefore por como está definida T , $\forall x = (x_1, \dots, x_n) \in \Omega$ se tiene:

$$T_i(x_1, \dots, x_n) = \kappa x_i^A + \sum_{n=1}^i \varphi_{i-n} x_n + \sum_{n=i+1}^N \varphi_{n+i-n} x_n \quad \forall i \in I.$$

Sea $x = (x_1, \dots, x_n)$ y $y = (y_1, \dots, y_n) \in \Omega$ y suponemos que $T(x) = T(y)$.

Probemos que esto implica que $x_i = y_i$. La demostración para $x_i = y_i$ con $i \in \{2, \dots, N\}$ es completamente análoga.

Supongamos que $x_1 \neq y_1$.

Consideremos primero que $x_1 < y_1$.

Sea $J = \{i \in I \mid x_i \geq y_i\}$.

Si $J = \emptyset$, es decir, $\forall i \in I$ $x_i < y_i$; entonces, por un lado: $\sum_{i=2}^N (x_i^A - y_i^A) < 0$.

Por otro, como $x_1 < y_1$, $y_1^A - x_1^A > 0$. Pero, como $T(x) = T(y)$, sabemos que

$$\sum_{i=1}^N x_i^A = \sum_{i=1}^N y_i^A \quad \text{(lo cual implica que } \sum_{i=2}^N (x_i^A - y_i^A) = y_1^A - x_1^A \text{ de la contradicción}$$

se sigue que $J \neq \emptyset$. Veamos que esto también nos lleva a una contradicción.

Sea $J = \{i_1, i_2, \dots, i_m\}$ con $i_j \leq i_k$ si $j \leq k$.

Ahora, como $T(x) = T(y)$ entonces $\sum_{i \in J} (T_i(x) - T_i(y)) = 0$

$$\therefore \sum_{i \in J} (\kappa(x_i^A - y_i^A) + \sum_{n=1}^i \varphi_{i-n}(x_n - y_n) + \sum_{n=i+1}^N \varphi_{n+i-n}(x_n - y_n)) = 0.$$

$$\therefore \left(\sum_{i \in J} \varphi_{i-1} \right) (y_i - x_i) = \alpha \sum_{i \in J} (x_i^* - y_i^*) + \sum_{i \in J} \left(\sum_{n=2}^i \varphi_{i-n} (x_n - y_n) + \sum_{n=i+1}^N \varphi_{N+i-n} (x_n - y_n) \right).$$

ahora, el lado izquierdo de la igualdad es negativo, ya que, como $i \in J$, $\varphi_{i-1} \neq \varphi_0 \forall i \in J$
 $\therefore \sum_{i \in J} \varphi_{i-1} < 0$. Además $x_i < y_i$ y se sigue entonces que $\left(\sum_{i \in J} \varphi_{i-1} \right) (y_i - x_i) < 0$.

Veremos que el otro lado de la igualdad es ≥ 0 .

En efecto:

$$\forall i \in J \quad x_i^* - y_i^* \geq 0 \quad \wedge \therefore \alpha \sum_{i \in J} (x_i^* - y_i^*) \geq 0.$$

Por otro lado:

$$\begin{aligned} & \sum_{i \in J} \left(\sum_{n=2}^i \varphi_{i-n} (x_n - y_n) + \sum_{n=i+1}^N \varphi_{N+i-n} (x_n - y_n) \right) \geq \\ & \geq \sum_{i \in J} \left[\varphi_0 (x_i - y_i) + \sum_{\substack{n=2 \\ n \in J}}^{i-1} \varphi_{i-n} (x_n - y_n) + \sum_{\substack{n=i+1 \\ n \in J}}^N \varphi_{N+i-n} (x_n - y_n) \right] = \\ & = \sum_{k=1}^m \left[\varphi_0 (x_{i_k} - y_{i_k}) + \sum_{n \in \{i_1, \dots, i_{k-1}\}} \varphi_{i_k - n} (x_n - y_n) + \sum_{n \in \{i_{k+1}, \dots, i_m\}} \varphi_{N+i_k - n} (x_n - y_n) \right] = \\ & = \sum_{j=1}^m \left(\varphi_0 + \sum_{k=1}^{j-1} \varphi_{N+i_k - i_j} + \sum_{k=j+1}^m \varphi_{i_k - i_j} \right) (x_{i_j} - y_{i_j}) \geq 0 \end{aligned}$$

ya que, $\forall j \in \{1, \dots, m\}$:

$$x_{i_j} - y_{i_j} \geq 0 \quad \wedge \quad \varphi_0 + \sum_{k=1}^{j-1} \varphi_{N+i_k - i_j} + \sum_{k=j+1}^m \varphi_{i_k - i_j} > 0.$$

de la contradicción se sigue entonces que $x_i > y_i$ y, para este caso, de manera análoga, se llega a una contradicción (basta invertir cada desigualdad). $\therefore x_i = y_i$.

Análogamente $x_{i_j} = y_{i_j} \forall i \in I \quad \wedge \therefore x = y$. $\therefore T$ es inyectiva en Ω .

2. ANÁLISIS DE $T(\Omega)$.

Queremos estudiar $T(\Omega) = \{f = T(x) \mid x \in \Omega\}$.

Ω está dado por $\{x = (x_1, \dots, x_n) \in \mathbb{R}^n \mid x_i \geq 0 \ \forall i = 1, \dots, n\}$

y $\forall (x_1, \dots, x_n) \in \Omega$,

$$T(x_1, \dots, x_n) = \begin{pmatrix} q_0 & q_{n-1} & \dots & q_1 \\ q_1 & q_0 & \dots & q_2 \\ \vdots & \vdots & \ddots & \vdots \\ q_{n-1} & q_{n-2} & \dots & q_0 \end{pmatrix} \begin{pmatrix} x_1 \\ x_2 \\ \vdots \\ x_n \end{pmatrix} + x \begin{pmatrix} x_1^4 \\ x_2^4 \\ \vdots \\ x_n^4 \end{pmatrix}.$$

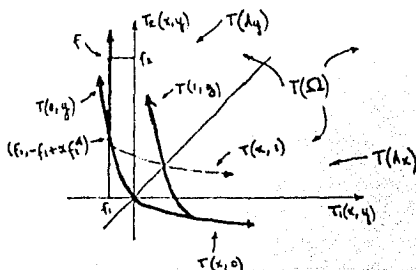
Por las propiedades de $\{q_i\}_{i=0}^{n-1}$ que vimos en la sección anterior apareceremos en el desarrollo que sigue, sin pérdida de generalidad, que $q_0 = 1$ y $\therefore \sum_{i=1}^{n-1} q_i = -1$.

Consideremos con $n=2$.

Para este caso, $T(\Omega) = \{(x, y) \mid x, y \geq 0\}$.

Por simplicidad, dividamos Ω en $A_y = \{(x, y) \in \Omega \mid x \leq y\} \cup A_x = \{(x, y) \in \Omega \mid y \leq x\}$, de manera que $T(\Omega) = T(A_y) \cup T(A_x)$.

Ahora, la frontera de $T(A_y)$ está dada por $\{T(0, y) \mid y \geq 0\} \cup \{T(y, y) \mid y \geq 0\}$ es decir, $\{(-y, xy^4 + y) \mid y \geq 0\} \cup \{(y, y) \mid y \geq 0\}$ y por lo tanto, geométricamente es claro que, dado $f = (f_1, f_2) \in \mathbb{R}^2$, $f \in T(A_y) \Leftrightarrow$ si $f_1 \geq 0$ entonces $f_2 \geq f_1$ y, si $f_1 \leq 0$ entonces $f_2 \geq -f_1 + x f_1^4$. Análogamente $f \in T(A_x) \Leftrightarrow$ si $f_1 \geq 0$ entonces $f_1 \geq f_2$ y, si $f_2 \leq 0$ entonces $f_1 \geq -f_2 + x f_2^4$.



Probamos este resultado.

Proposición 2: Sea $f = (f_1, f_2) \in \mathbb{R}^2$. Si $f_1 \leq f_2$ \wedge $\alpha = \max\{0, -f_1\}$ entonces $f \in T(\Omega) \Leftrightarrow f_1 \geq \alpha + \alpha x^4$.

dem:

Por la especial clase de existencia de T supongamos sin pérdida de generalidad que $f_1 \leq f_2$.

\Rightarrow supongamos $f \in T(\Omega)$.

(i) si $f_1 \geq 0$ entonces $\alpha = 0$ \wedge $f_2 \geq f_1 \geq 0$.

(ii) si $f_1 < 0$ entonces $\alpha = -f_1$. Como $f \in T(\Omega)$ $\exists x, y \geq 0 \rightarrow f_1 = x - y + \alpha x^4$, $f_2 = y - x + \alpha y^4$.

$$\therefore y - \alpha = y + f_1 = x + \alpha x^4 \geq 0 \quad \therefore y \geq \alpha > 0 \quad \therefore y^4 \geq \alpha^4$$

$$\therefore \alpha y^4 + \alpha x^4 - x + y \geq \alpha y^4 - x + y \geq \alpha \alpha^4 - x + y$$

$$\therefore f_2 = \alpha y^4 + y - x \geq \alpha \alpha^4 - x + y - \alpha x^4 = \alpha + \alpha \alpha^4.$$

\Leftarrow (i) si $\alpha = 0$ entonces $f_1 \geq 0$

si $f_1 = f_2$ sea $x \geq 0 \rightarrow \alpha x^4 = f_1$ \wedge sea $y = x \therefore T(x, y) = (\alpha x^4, \alpha y^4) = (f_1, f_2)$

si $f_1 < f_2$, sea $A = \{x > 0 \mid \alpha x^4 > f_1\}$ \wedge definamos $g: A \rightarrow \mathbb{R}$ como:

$$g(x) = \alpha x^4 - f_1 + \alpha(\alpha x^4 + x - f_1)^4 \quad \forall x \in A. \quad (1)$$

Entonces, g es continua y estrictamente creciente ya que, si $x \in A$ se tiene:

$$\alpha x^4 + x - f_1 > \alpha x^4 - f_1 > 0 \quad (2)$$

$$\wedge \therefore g'(x) = 4\alpha x^3 + 4\alpha(\alpha x^4 + x - f_1)^3(4\alpha x^3 + 1) > 0 \quad \forall x \in A.$$

\wedge como $f_1 = \inf\{g(x) \mid x \in A\}$ \wedge $f_2 > f_1$, $\exists!$ $x \in A \rightarrow g(x) = f_2$.

sea $y = \alpha x^4 + x - f_1$. Por (2) $(x, y) \in \Omega$ \wedge $T(x, y) = (f_1, g(x)) = (f_1, f_2)$

(ii) si $\alpha \neq 0$ entonces $f_1 \leq 0$ \wedge $f_2 \geq \alpha f_1^4 - f_1$.

si $f_2 = \alpha f_1^4 - f_1$ entonces, si $x = 0$ \wedge $y = -f_1$ $(x, y) \in \Omega$ \wedge $T(x, y) = (f_1, f_2)$.

si $f_2 > \alpha f_1^4 - f_1$, sea $B = \{x \in \mathbb{R} \mid x > 0\}$ \wedge $g: B \rightarrow \mathbb{R}$ definida como en (1) $\forall x \in B$.

Entonces, g es continua y, como $(x > 0 \wedge f_1 \leq 0) \Rightarrow \alpha x^4 + x - f_1 > 0$, g es estrictamente creciente; como $f_2 > \alpha f_1^4 - f_1 = \inf\{g(x) \mid x \in B\}$ se sigue que $\exists!$ $x \in B$

tal que $g(x) = f_2$. Haciendo $y = \alpha x^4 + x - f_1$, $(x, y) \in \Omega$ \wedge se satisface:

$$T(x, y) = (f_1, g(x)) = (f_1, f_2).$$

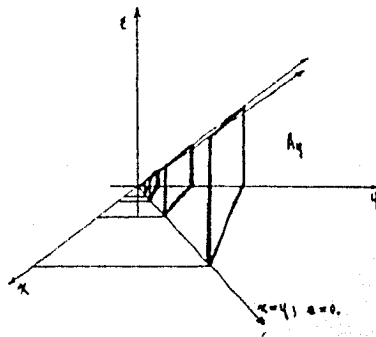
La demostración que acabamos de hacer se basa en encontrar precisamente de rectas: si $f_1 < f_2$, la proyección de la recta $\{(f_1, y) \mid y \geq -f_1 + x f_1^2\}$ y, si $f_2 < f_1$, la proyección de $\{(x, f_2) \mid x \geq -f_2 + x f_2^2\}$. Aunque geométricamente puede ser muy natural analizar de esta manera $T(\Omega)$ y para $N=2$ resulta bastante sencillo, para $N=3$ no y, de hecho, generalizar el resultado llevaría a expresiones totalmente inmanejables. Nos servirá, como veremos después, para dar una definición suficiente pero debemos en lo que sigue una idea de lo que sucede para $N=3$. Lo veremos entonces lo cumplido de la función y como, en lugar de una curva tan simple como $\{(-y, y + x y^2) \mid y \geq 0\}$ que determina la frontera del conjunto, tenemos, por ejemplo, la superficie $\{(x + q_1 y + x x^2, q_1 x + y + x y^2, q_2 x + q_1 y) \mid x, y \geq 0\}$. La construimos esta basada en las desigualdades $q_1 < q_2 < 0$ y en $q_1 + q_2 = -1$.

Para $N=3$ la función está dada por:

$$T(x, y, z) = (x + q_1 y + q_2 z + x x^2, q_1 x + y + q_2 z + x y^2, q_2 x + q_1 y + z + x z^2)$$

$$\text{y } \Omega = \{(x, y, z) \in \mathbb{R}^3 \mid x, y, z \geq 0\}.$$

Dividamos Ω en $A_x \cup A_y \cup A_z$ donde $A_x = \{(x, y, z) \in \mathbb{R}^3 \mid 0 \leq y, z \leq x\}$, $A_y = \{(x, y, z) \in \mathbb{R}^3 \mid 0 \leq x, z \leq y\}$ y $A_z = \{(x, y, z) \in \mathbb{R}^3 \mid 0 \leq x, y \leq z\}$ y vemos la imagen de, por ejemplo, A_y .



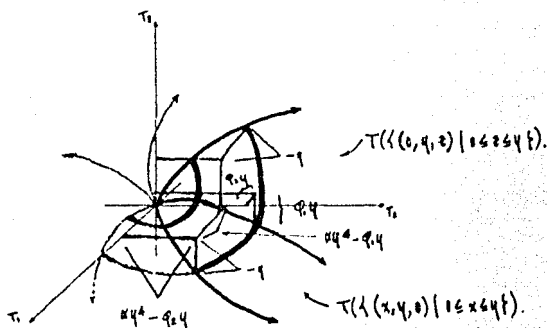
Cuando $z=0$ la imagen está dada por:

$$T(A_y \cap \{(x, y, 0) \mid x, y \in \mathbb{R}\}) = \{(x + q_2 y + x x^2, q_1 x + y + x y^2, q_2 x + q_1 y) \mid 0 \leq x \leq y\}$$

y si $x=0$ la imagen está dada por:

$$T(A_y \cap \{(0, y, z) \mid y, z \in \mathbb{R}\}) = \{(q_2 y + q_2 z, y + q_2 z + x y^2, q_1 y + z + x z^2) \mid 0 \leq z \leq y\}$$

Si graficamos estos conjuntos obtenemos una figura de este tipo:



Si razonamos como en el caso $N=2$ tendremos la siguiente caracterización:

Para en particular $T(A_1)$ tenemos que dividir en los siguientes casos:

(i) Dado $f_3 < 0 \wedge \frac{f_2}{q_1} f_3 \leq f_1 \leq \kappa f_3^4 + q_1 f_3$ tenemos:

$$f \in T(\Omega) \Leftrightarrow \text{si } f_1 = \kappa x^4 + x + q_1 y \wedge f_3 = q_2 x + q_1 y \text{ entonces } f_2 \geq \kappa y^4 + y + q_1 x.$$

(ii) Dado $f_1 < 0 \wedge \frac{q_1}{f_2} f_1 \leq f_3 \leq \kappa f_1^4 + q_2 f_1$ tenemos:

$$f \in T(\Omega) \Leftrightarrow \text{si } f_1 = q_1 z + q_2 y \wedge f_3 = \kappa z^4 + z + q_1 y \text{ entonces } f_2 \geq \kappa y^4 + y + q_2 z.$$

Análogamente para $T(A_x)$ y $T(A_z)$ y, finalmente, el caso $f_1, f_2, f_3 \geq 0$.

Este resultado caracteriza $T(\Omega)$ para $N=3$ y se podría probar de manera análoga para N en general, pero con solo imaginar el resultado para una dimensión más, resulta preferible tomar otro camino... Regresemos al caso $N=2$.

Supongamos otra vez $f_1 \leq f_2$. Si ahora en lugar de, dado $f_1 \in \mathbb{R}$, nos fijamos en la ordenada y_0 del punto de la frontera con abscisa f_1 y pedimos que $f_2 \geq y_0$, probemos de manera inversa, o sea, dado $f_2 \geq 0$ veamos la abscisa x_0 del punto de la curva $\{T(0, y) | y \geq 0\}$ con ordenada f_2 y pedimos que $f_1 \geq x_0$, se obtiene lo siguiente:

Estamos pidiendo que $\{(-y, y + \kappa y^4) | y \geq 0\}$ intersecte a (f_1, f_2) recorriéndola positivamente paralela al eje de las abscisas, es decir:

si $f_1 \leq f_2$ entonces $(f_1, f_2) \in T(\Omega) \Leftrightarrow \exists y \geq 0 \text{ y } f_2 = y + \alpha y^4 \wedge f_1 \geq -y$.

Análogamente, si $f_2 \leq f_1$, $(f_1, f_2) \in T(\Omega) \Leftrightarrow \exists x \geq 0 \text{ y } f_1 = x + \alpha x^4 \wedge f_2 \geq -x$.

Además, esto claramente es equivalente a pedir que, si $f_1 \leq f_2$ $\wedge a = \min\{0, -f_1\}$ entonces la función real $F: [a, \infty) \rightarrow \mathbb{R}$ dada por $F(x) = f_2 - \alpha x^4$ tenga un punto fijo. Ahora, como $F(x)$ solo toma valores para $x \geq a \geq 0$, $F'(x) - 1$ es estrictamente creciente y F tiene un punto fijo si y solo si $f_2 \geq a + \alpha a^4$.

Este es el mismo resultado que obtenimos en la proposición 2. Veamos que sucede con $N=3$.

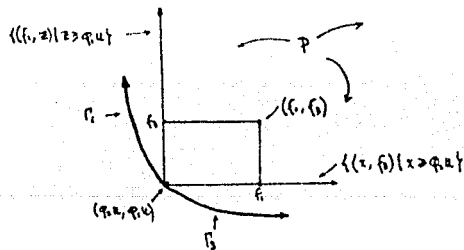
Supongamos que $f_2 \geq 0$, $\exists u \geq 0 \text{ y } f_2 = u + \alpha u^4$, $f_1 \geq q_2 u \wedge f_3 \geq q_1 u$.

Sea $P = \{(x, f_2, z) \mid x, z \in \mathbb{R}\} \cap T(\Omega)$ la intersección del plano $y = f_2$ con $T(\Omega)$.

Por lo tanto $P = \{(x + q_2 y + q_1 z + \alpha x^4, f_2, q_2 x + q_1 y + z + \alpha z^4) \mid q_1 x + y + q_2 z + \alpha y^4 = f_2 \wedge x, y, z \geq 0\}$
y la frontera de P , $\partial P = \Gamma_1 \cup \Gamma_3$ donde:

$$\Gamma_1 = \{(q_2 y + q_1 z, f_2, q_1 y + z + \alpha z^4) \mid q_1 y + z + \alpha z^4 = f_2 \wedge y, z \geq 0\}$$

$$\Gamma_3 = \{(x + q_2 y + \alpha x^4, f_2, q_1 x + q_1 y) \mid q_1 x + y + \alpha x^4 = f_2 \wedge x, y \geq 0\}.$$



Ahora, sólo calificar punto $(q_1 y + q_1 z, f_2, q_1 y + z + \alpha z^4) \in \Gamma_1$, como $u + \alpha u^4 = f_2 \leq y + \alpha y^4$ se sigue que $f_2 \geq q_2 u \geq q_2 y \geq q_2 y + q_1 z$ y, sólo $(x + q_2 y + \alpha x^4, f_2, q_1 x + q_1 y) \in \Gamma_3$, como $u + \alpha u^4 = f_2 = q_1 x + y + \alpha x^4 \leq y + \alpha y^4$ se sigue que $f_2 \geq q_2 x + q_1 y$.

\therefore los puntos $\{(x, f_2, z) \mid x \geq q_2 u\}$ \wedge $\{(f_1, f_2, z) \mid z \geq q_1 u\}$ están contenidos en P .

$\therefore (f_1, f_2, f_3) \in P \subset T(\Omega)$.

Es claro que esta condición equivale a pedir que exista $u \geq 0$, $f_1/q_1, f_3/q_3$ tal que $u = f_2 - xu^4$, es decir, que la función $F(u) = f_2 - xu^4$ defina en $[a, \infty)$ con $a = \max\{0, f_1/q_1, f_3/q_3\}$ tenga un punto fijo, lo cual, como se vio, se satisface si y solo si $f_2 \geq a + xa^4$.

Si procedemos análogamente para los otros dos casos:

$$(i) f_1 = u + xu^4, \quad f_2 \geq q_1 u, \quad f_3 \geq q_3 u;$$

$$(ii) f_3 = u + xu^4, \quad f_1 \geq q_1 u, \quad f_2 \geq q_2 u,$$

se tiene la siguiente condición:

Sea $f = (f_1, f_2, f_3) \in \mathbb{R}^3$ y sean $a_1 = \max\{0, f_1/q_1, f_3/q_3\}$, $a_2 = \max\{0, f_1/q_2, f_3/q_3\}$ y $a_3 = \max\{0, f_1/q_1, f_2/q_2\}$. Si existe $i \in \{1, 2, 3\}$ tal que $f_i \geq a_i + xa_i^4$ entonces $f \in T(\Omega)$.

Generalizándolo.

Proposición 3: Sea $f = (f_1, f_2, \dots, f_n) \in \mathbb{R}^n$ y $\forall i \in \{1, \dots, n\}$ sea $a_i = \max\{0, f_j/q_j \mid j \in \{1, \dots, n\} - i\}$, donde $i_j = (i+j) \bmod n$ y $f_i = f_{i_j}$. Si existe $i \in \{1, \dots, n\}$ tal que $f_i \geq a_i + xa_i^4$ entonces $f \in T(\Omega)$.

demo:

supongamos que $f_i \geq a_i + xa_i^4$.

\therefore la función $F(u) = f_i - xu^4$ tiene un punto fijo mayor o igual que $\max\{0, f_2/q_2, \dots, f_n/q_n\}$.

ie. $\exists u \geq 0$ y $f_i = u + xu^4$ y $f_i \geq q_{i-1} u \quad \forall i \in \{2, \dots, n\}$.

sea $P = \{(f_1, x_1, \dots, x_n) \mid x_i \in \mathbb{R} \quad \forall i \geq 2\} \cap T(\Omega)$. \therefore la frontera de P está dada por $\partial P = \bigcup_{i=2}^n \Gamma_i$:

donde $\Gamma_i = \{(f_1, T_2(x_1, \dots, x_{i-1}, 0, x_{i+1}, \dots, x_n), \dots, T_n(x_1, \dots, x_{i-1}, 0, x_{i+1}, \dots, x_n)) \mid x_j \geq 0 \quad \forall j \neq i$

$$\wedge f_i = T_i(x_1, \dots, x_{i-1}, 0, x_{i+1}, \dots, x_n)\} \quad \forall i \geq 2.$$

ahora, dado $(x_1, \dots, x_{i-1}, x_{i+1}, \dots, x_n)$ tal que $f_i = T_i(x_1, \dots, x_{i-1}, 0, x_{i+1}, \dots, x_n)$, como $u \in x_1$,

$$f_i \geq q_{i-1} u \geq q_{i-1} x_1 \geq \sum_{n=1}^{i-1} q_{i-n} x_n + \sum_{n=i+1}^n q_{n+i-1} x_n = T_i(x_1, \dots, x_{i-1}, 0, x_{i+1}, \dots, x_n) \quad \forall i \geq 2.$$

$\therefore f \in P$ y $\therefore f \in T(\Omega)$.

En general si $f_j \geq a_j + xa_j^4$, la condición equivale a que exista $u \geq 0 \exists f_j = u + xu^4$ y

$\forall i \in \{1, \dots, n\} - i_j$, $f_i \geq q_{n+i-j} u$ si $i < j$ y $f_i \geq q_{i-j} u$ si $i > j$. Esto implica que f_i sea mayor o igual que la i -ésima coordenada de $P = \{(x_1, \dots, x_j, f_j, x_{j+1}, \dots, x_n) \mid x_k \in \mathbb{R} \quad \forall k \neq j\} \cap T(\Omega)$ y $\therefore (f_1, \dots, f_n)$ estará en P contenido en $T(\Omega)$.

La proposición anterior nos da una condición suficiente. Puede ser útil, pero resultaría conveniente tener también alguna necesaria. Analicemos la función desde el punto de vista completamente distinto: como involucra una potencia a la cuarta, estudiemos lo que sucede con esas curvas en Ω . Este enfoque, como el anterior, puede ser generalizable y caracterizar $\mathcal{T}(\Omega)$ pero la condición necesaria y suficiente a veces que tampoco resulta manipulable. A pesar de esto, surge de manera muy natural una condición necesaria.

Comencemos también en $N=2$.

Definamos $\forall r \geq 0$ $B_r = \{(x, y) \in \Omega \mid x^4 + y^4 = r^4\}$.

Claramente la unión de B_r cubre Ω (si $(x, y) \in \Omega$ sea $r = (x^4 + y^4)^{1/4}$).

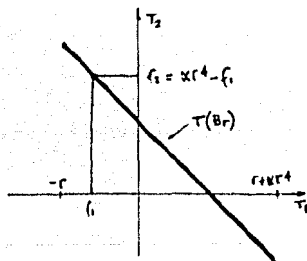
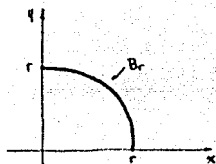
Ahora, veamos que $\forall r \geq 0$ $\mathcal{T}(B_r) = \{(u, \kappa r^4 - u) \mid u \in [-r, r + \kappa r^4]\}$ lo cual caracterizara $\mathcal{T}(\Omega)$.

En efecto, $\forall (x, y) \in B_r$, $\mathcal{T}(x, y) = (x - (r^4 - x^4)^{1/4} + \kappa x^4, \kappa r^4 - (x - (r^4 - x^4)^{1/4} + \kappa x^4))$ y la función $u: [0, r] \rightarrow \mathbb{R}$ tal que $u(x) = x - (r^4 - x^4)^{1/4} + \kappa x^4$ $\forall x \in [0, r]$ es 1-1 y continua.

$\therefore u([0, r]) = [-r, r + \kappa r^4]$. Se sigue entonces que $\mathcal{T}(\Omega) = \bigcup_{r \geq 0} \{(u, \kappa r^4 - u) \mid -r \leq u \leq r + \kappa r^4\}$ y \therefore

hemos probado:

Proposición 4: $(f_1, f_2) \in \mathcal{T}(\Omega) \Leftrightarrow -r \leq f_1 \leq r + \kappa r^4$ con $r = \left(\frac{f_1 + f_2}{\kappa}\right)^{1/4}$.



lo cual de este caso conlleva en que \mathcal{T} mapea B_r en una recta (perpendicular al $(1, 1)$).

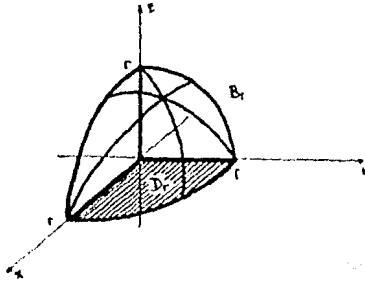
Pasemos a $N=3$.

Sea $\forall r \geq 0$: $B_r = \{(x, y, z) \in \Omega \mid x^4 + y^4 + z^4 = r^4\}$

$\mathcal{T}_r = \{(x, y) \in \mathbb{R}^2 \mid 0 \leq x \leq r, 0 \leq y \leq (r^4 - x^4)^{1/4}\}$

Análogamente $\Omega = \bigcup_{r \geq 0} B_r$ $\wedge \therefore \mathcal{T}(\Omega) = \bigcup_{r \geq 0} \mathcal{T}(B_r)$.

Para este caso B_r se ve como en la figura:



y la imagen está dada por:

$$T(B_r) = \{ (x + q_2 y + x x^2 + q_1 (r^2 - x^2 - y^2))^{1/4}, q_1 x + y + x y^2 + q_2 (r^2 - x^2 - y^2)^{1/4}, q_1 x + q_1 y + (r^2 - x^2 - y^2)^{1/4} + x(r^2 - x^2 - y^2) \mid 0 \leq x \leq r \wedge 0 \leq y \leq (r^2 - x^2)^{1/2} \}$$

\therefore si para cada $r \geq 0$ y $\forall (x, y) \in B_r$ definimos:

$$u_r(x, y) = x + q_2 y + x x^2 + q_1 (r^2 - x^2 - y^2)^{1/4}$$

$$v_r(x, y) = q_1 x + y + x y^2 + q_2 (r^2 - x^2 - y^2)^{1/4}$$

$$\text{entonces } T(B_r) = \{ (u_r(x, y), v_r(x, y), x r^2 - u_r(x, y) - v_r(x, y)) \mid (x, y) \in B_r \}$$

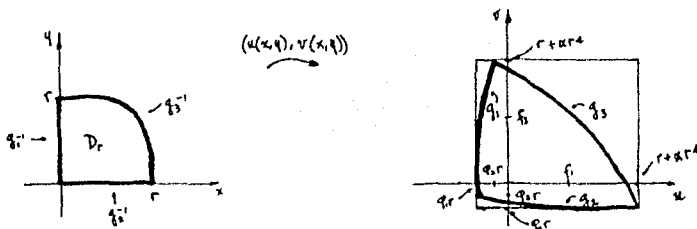
$$\therefore (f_1, f_2, f_3) \in T(\Omega) \Leftrightarrow \exists (x, y) \in B_r \text{ con } r = \left(\frac{f_1 + f_2 + f_3}{x} \right)^{1/4} \text{ tal que } f_1 = u_r(x, y) \wedge f_2 = v_r(x, y)$$

Basta por ende encontrar entonces solo D_r bajo (u_r, v_r) . Claramente esta función $(u_r(x, y), v_r(x, y))$ mapea D_r en la región en \mathbb{R}^2 acotada por las siguientes tres curvas:

$$q_1 = \{ (q_2 y + q_1 (r^2 - y^2))^{1/4}, y + x y^2 + q_2 (r^2 - y^2)^{1/4} \mid 0 \leq y \leq r \}$$

$$q_2 = \{ (x + x x^2 + q_1 (r^2 - x^2))^{1/4}, q_1 x + q_2 (r^2 - x^2)^{1/4} \mid 0 \leq x \leq r \}$$

$$q_3 = \{ (x + x x^2 + q_2 (r^2 - x^2))^{1/4}, q_1 x + (r^2 - x^2)^{1/4} + x r^2 - x x^2 \mid 0 \leq x \leq r \}$$



y si caracterizamos esta región (en términos de $q_1, q_2, \wedge q_3$) obtenemos $T(\Omega)$ de la siguiente manera:

Proposición 5: sea $(f_1, f_2, f_3) \in \mathbb{R}^3$. Entonces son equivalentes:

(a) $(f_1, f_2, f_3) \in T(\Omega)$

(b) $f_1 + f_2 + f_3 \geq 0$ \wedge si $r = \left(\frac{f_1 + f_2 + f_3}{\alpha}\right)^{1/4}$ entonces:

(1) $q_1 r \leq f_1 \leq r + \alpha r^2$

(2) $f_2 \geq q_1 x + q_2 (r^2 - x^2)^{1/4}$ donde $x \in [0, r]$ es tal que $f_1 = x + \alpha x^4 + q_1 (r^2 - x^2)^{1/4}$.

si $q_1 r \leq f_1 \leq r + \alpha r^2$ entonces $f_2 \leq q_1 x + q_2 (r^2 - x^2)^{1/4}$ con $f_1 = q_2 y + q_1 (r^2 - y^2)^{1/4}$ \wedge $y \in [0, r]$.

si $q_2 r \leq f_2 \leq r + \alpha r^2$ entonces $f_2 \leq q_1 x + (r^2 - x^2)^{1/4}$ con $f_1 = x + \alpha x^4 + q_2 (r^2 - x^2)^{1/4}$ \wedge $x \in [0, r]$.

Para el caso general definamos $\forall r \geq 0, B_r = \{(x_1, \dots, x_N) \in \Omega \mid \sum_{i=1}^N x_i^4 = r^4\}$

$\wedge D_r = \{(x_1, \dots, x_{N-1}) \in \mathbb{R}^{N-1} \mid 0 \leq x_i \leq r, 0 \leq x_N \leq (r^4 - \sum_{i=1}^{N-1} x_i^4)^{1/4} \forall i \in \{2, \dots, N-1\}\}$.

si Φ_i es el i-ésimo elemento de Φ , definimos $\forall i=1, \dots, N-1$ $u_i: D_r \rightarrow \mathbb{R}$ como:

$$u_i(x_1, \dots, x_{N-1}) = \left\langle \Phi_i \cdot (x_1, x_2, \dots, x_{N-1}, (r^4 - \sum_{i=1}^{N-1} x_i^4)^{1/4}) \right\rangle + \alpha x_i^4.$$

Entonces $T(B_r) = \{(u_1(x_1, \dots, x_{N-1}), \dots, u_{N-1}(x_1, \dots, x_{N-1}), \alpha r^4 - \sum_{i=1}^{N-1} u_i(x_1, \dots, x_{N-1})) \mid (x_1, \dots, x_{N-1}) \in D_r\}$

$\wedge \therefore f = (f_1, \dots, f_N) \in T(\Omega) \Leftrightarrow \sum_{i=1}^N f_i \geq 0$ \wedge , si $r = \left(\frac{\sum_{i=1}^N f_i}{\alpha}\right)^{1/4}$ entonces:

$\exists (x_1, \dots, x_{N-1}) \in D_r \ni f_i = u_i(x_1, \dots, x_{N-1}) \forall i \in \{1, \dots, N-1\}$.

Ahora, este resultado será útil para caracterizar $T(\Omega)$ si pudiéramos caracterizar la función definida en D_r por:

$$(x_1, \dots, x_{N-1}) \mapsto (u_1(x_1, \dots, x_{N-1}), \dots, u_{N-1}(x_1, \dots, x_{N-1})).$$

Intuitivamente, regresámos análogamente a $q_i r \leq f_i \leq r + K r^k$ y $N-2$ condiciones para f_1, \dots, f_{N-1} de la forma $q_i(f_1, \dots, f_{i-1}) \leq f_i \leq q_2(f_1, \dots, f_{i-1}) \forall i \in \{2, \dots, N-1\}$. Para los casos $N=2$ y $N=3$ encontramos estas funciones, pero para N arbitraria, resulta claro por el desarrollo que explicita para $q_1(f_1, \dots, f_{i-1})$ y para $q_2(f_1, \dots, f_{i-1})$ resolver al menos $i-1$ ecuaciones de cierto grado lo cual no resuelve el problema.

En embargo, de este enfoque se deriva inmediatamente una condición necesaria que puede ser útil al estudiar una serie de valores (f_1, \dots, f_N) . Con esta condición comenzamos el estudio de $T(\Omega)$.

Proposición 6: Sea $f = (f_1, \dots, f_N) \in \mathbb{R}^N$. Si $f \in T(\Omega)$ entonces $\forall i \in \{1, \dots, N-1\}$ se cumple:

$$-r \leq f_i \leq r + K r^k, \text{ donde } r = \left(\sum_{j=1}^N f_j / \alpha \right)^{1/k}.$$

Dem:

Por el resultado anterior, si $f \in T(\Omega)$ entonces $\exists (x_1, \dots, x_{N-1}) \in D_r$ con $r = \left(\sum_{j=1}^N f_j / \alpha \right)^{1/k}$

y $D_r = \{ (x_1, \dots, x_{N-1}) \in \mathbb{R}^{N-1} \mid 0 \leq x_n \leq (r^k - \sum_{i=1}^{n-1} x_i^k)^{1/k} \forall n \in \{1, \dots, N-1\} \}$ tal que:

$$f_i = \left(\phi_i(x_1, \dots, x_{N-1}, (r^k - \sum_{j=1}^{N-1} x_j^k)^{1/k} \right) + K x_i^k \quad \forall i \in \{1, \dots, N-1\}.$$

Ahora, como $(x_1, \dots, x_{N-1}) \in D_r$, $x_i \leq r \quad \forall i \in \{1, \dots, N-1\}$.

Además $(r^k - \sum_{j=1}^{N-1} x_j^k)^{1/k} \leq r$.

$\therefore \forall i \in \{1, \dots, N-1\}$ se tiene:

$$f_i = x_i + K x_i^k + \sum_{k=1}^{i-1} \phi_{i-k} x_k^k + \sum_{k=i+1}^{N-1} \phi_{N+i-k} x_k^k + \phi_i \left(r^k - \sum_{j=1}^{N-1} x_j^k \right)^{1/k}$$

$$\geq \sum_{k=1}^{i-1} \phi_{i-k} r + \sum_{k=i+1}^{N-1} \phi_{N+i-k} r + \phi_i r$$

$$= \sum_{k=1}^{N-1} \phi_k r = -r.$$

Por último, la otra desigualdad es inmediata ya que $f_i \leq x_i + K x_i^k \leq r + K r^k$.

3. UNA CONDICIÓN SUFICIENTE PARA FLUJO MÁXIMO.

Dada una serie de valores (f_1, \dots, f_n) en la imagen de $T(\Omega)$, saber cuándo uno de ellos es máximo, apuntaría en la dirección de las horas de vuelo. El problema, como la caracterización de $T(\Omega)$, no es sencillo, pero en lo que sigue presentaremos una condición suficiente.

Comencemos viendo qué sucede con $N=2$.

Si $(f_1, f_2) \in T(\Omega)$, entonces existen $x_1, x_2 \geq 0$ tales que:

$$f_1 = \alpha x_1^4 + x_1 - x_2$$

$$f_2 = \alpha x_2^4 + x_2 - x_1$$

Si $x_1 \leq x_2$ entonces $\alpha x_1^4 + 2x_1 \leq \alpha x_2^4 + 2x_2$ y $\therefore f_1 \leq f_2$.

Es o lo contrario: para que $f_2 \geq f_1$ basta que $x_2 \geq x_1$.

Veamos el caso $N=3$.

Si $(f_1, f_2, f_3) \in T(\Omega)$, entonces existen $x_1, x_2, x_3 \geq 0$ tales que:

$$f_1 = x_1 + \alpha_1 x_2 + \alpha_1 x_3 + \alpha x_1^4$$

$$f_2 = \alpha_2 x_1 + x_2 + \alpha_2 x_3 + \alpha x_2^4$$

$$f_3 = \alpha_3 x_1 + \alpha_3 x_2 + x_3 + \alpha x_3^4$$

Queremos encontrar una condición para que, por ejemplo, $f_2 \geq f_1, f_3$.

Supongamos que $x_1, x_3 \leq x_2$.

Si $x_1 > x_3$ entonces no necesariamente $f_1 \leq f_2$. Por ejemplo, si $x_3 = 0, x_1 = x_2 > 0$ entonces

$f_1 = \alpha x_2^4 - \alpha_1 x_2 > \alpha x_2^4 - \alpha_2 x_2 = f_2$. Sin embargo, si $x_1 \leq x_3$ entonces $f_1 \leq f_2$ e, independientemente de la relación que exista entre x_1 y x_3 , siempre $f_3 \leq f_2$.

O sea:

Si $x_1, x_3 \leq x_2$ entonces:

(a) $f_3 \leq f_2$.

(b) Si $x_1 \leq x_3$ entonces $f_1 \leq f_2$.

Dem:

(a): Si $x_1 \leq x_3$ entonces $\alpha_1(x_2 - x_1) \leq \alpha_1(x_3 - x_1) \leq \alpha_2(x_3 - x_1)$ y $\therefore f_3 \leq f_2$.

Si $x_1 \geq x_3$ entonces $\alpha_1(x_2 - x_1) \leq 0 \leq \alpha_2(x_3 - x_1)$ y $\therefore f_3 \leq f_2$.

(b): Si $x_1 \leq x_3$ entonces $\alpha_2(x_2 - x_3) \leq 0 \leq \alpha_1(x_1 - x_3)$ y $\therefore f_1 \leq f_2$.

se sigue entonces que $x_1 \leq x_2 \leq x_3 \Rightarrow f_1, f_2 \leq f_3$.

Para el caso general se llega al siguiente resultado:

Proposición 7: Sean $f = (f_1, \dots, f_n) \in T(\Omega)$ y $x = (x_1, \dots, x_n) \in \Omega$ y $T(x) = f$. Sean $n \in \{1, \dots, N\}$ y $k \in \{1, \dots, N\} - \{n\}$. Entonces $f_k \leq f_n$ si:

(1) si $n < k$, $x_1, \dots, x_{n-1}, x_k, \dots, x_n \leq x_n, \dots, x_{k-1}$.

(2) si $k < n$, $x_k, \dots, x_{n-1} \leq x_1, \dots, x_{k-1}, x_n, \dots, x_n$.

dem:

caso 1: $n < k$. $x_1, \dots, x_{n-1}, x_k, \dots, x_n \leq x_n, \dots, x_{k-1}$.

La j -ésima componente de $T(x)$ está dada por:

$$f_j = \kappa x_j^a + \sum_{i=1}^j \varphi_{j-i} x_i + \sum_{i=j+1}^n \varphi_{n+i-j} x_i.$$

$$\begin{aligned} \therefore f_k - f_n &= \kappa(x_k^a - x_n^a) + \varphi_0(x_k - x_n) + \sum_{i=1}^{k-1} \varphi_{k-i} x_i + \sum_{i=k+1}^n \varphi_{n+k-i} x_i - \sum_{i=1}^{n-1} \varphi_{n-i} x_i - \sum_{i=n+1}^n \varphi_{n+i} x_i \\ &\leq \varphi_{k-n} x_n + \sum_{i=1}^{n-1} (\varphi_{k-i} - \varphi_{n-i}) x_i + \sum_{i=n+1}^{k-1} (\varphi_{k-i} - \varphi_{n+i}) x_i - \varphi_{n+n-k} x_k + \\ &\quad + \sum_{i=k+1}^n (\varphi_{n+k-i} - \varphi_{n+i}) x_i. \end{aligned}$$

Ahora, sea $x > 0$ y $x_1, \dots, x_{n-1}, x_k, \dots, x_n \leq x \leq x_n, \dots, x_{k-1}$.

Como $\forall i \in \{1, \dots, n-1\}$ $1 \leq n-i < k-i \leq n-1$ se sigue que $(\varphi_{k-i} - \varphi_{n-i}) > 0$

$$\forall i \in \{1, \dots, n-1\}, \quad \varphi_{k-i} - \varphi_{n-i} \leq (\varphi_{k-i} - \varphi_{n-i}) x \quad \forall i \in \{1, \dots, n-1\}.$$

Análogamente $\forall i \in \{k+1, \dots, N\}$, $1 \leq n+n-i < n+k-i \leq n-1$ y $(\varphi_{n+k-i} - \varphi_{n+i}) > 0$

$$\therefore (\varphi_{n+k-i} - \varphi_{n+i}) x_i \leq (\varphi_{n+k-i} - \varphi_{n+i}) x \quad \forall i \in \{k+1, \dots, N\}.$$

Por último, $\forall i \in \{n+1, \dots, k-1\}$, $1 \leq k-i < n+n-i \leq n-1$ y $(\varphi_{k-i} - \varphi_{n+i}) < 0$

$$\therefore (\varphi_{k-i} - \varphi_{n+i}) x_i \leq (\varphi_{k-i} - \varphi_{n+i}) x \quad \forall i \in \{n+1, \dots, k-1\}.$$

se sigue entonces que:

$$f_k - f_n \leq \left(\varphi_{k-n} + \sum_{i=1}^{n-1} (\varphi_{k-i} - \varphi_{n-i}) + \sum_{i=n+1}^{k-1} (\varphi_{k-i} - \varphi_{n+n-i}) - \varphi_{n+n-k} + \sum_{i=k+1}^n (\varphi_{n+k-i} - \varphi_{n+n-i}) \right) x = 0$$

$$\therefore f_k \leq f_n$$

caso 1: $k < n$. $x_{k-1}, x_{n-1} \leq x_1, \dots, x_{k-1}, x_{n-1}, x_n$.

$$\begin{aligned} \therefore f_k - f_n &= \kappa(x_k^4 - x_n^4) + \varphi_0(x_k - x_n) + \sum_{i=1}^{k-1} \varphi_{k-i} x_i + \sum_{i=k+1}^n \varphi_{n+k-i} x_i - \sum_{i=1}^{n-1} \varphi_{n-i} x_i - \sum_{i=n+1}^n \varphi_{n+n-i} x_i \\ &\leq \varphi_{k-n} x_n + \sum_{i=1}^{k-1} (\varphi_{k-i} - \varphi_{n-i}) x_i - \varphi_{n-k} x_k + \sum_{i=k+1}^{n-1} (\varphi_{n+k-i} - \varphi_{n-i}) x_i + \sum_{i=n+1}^n (\varphi_{n+k-i} - \varphi_{n+n-i}) x_i. \end{aligned}$$

Ahora, como en el caso anterior, si $x \geq 0$ es tal que $x_k, \dots, x_{n-1} \leq x \leq x_1, \dots, x_{k-1}, x_{n-1}, x_n$ entonces:

$$i \in \{1, \dots, k-1\} \Rightarrow (\varphi_{k-i} - \varphi_{n-i}) x_i \leq (\varphi_{k-i} - \varphi_{n-i}) x$$

$$i \in \{n+1, \dots, n\} \Rightarrow (\varphi_{n+k-i} - \varphi_{n+n-i}) x_i \leq (\varphi_{n+k-i} - \varphi_{n+n-i}) x$$

$$i \in \{k+1, \dots, n-1\} \Rightarrow (\varphi_{n+k-i} - \varphi_{n-i}) x_i \leq (\varphi_{n+k-i} - \varphi_{n-i}) x.$$

$$\therefore f_k - f_n \leq \left(\varphi_{k-n} + \sum_{i=1}^{k-1} (\varphi_{k-i} - \varphi_{n-i}) - \varphi_{n-k} + \sum_{i=k+1}^{n-1} (\varphi_{n+k-i} - \varphi_{n-i}) + \sum_{i=n+1}^n (\varphi_{n+k-i} - \varphi_{n+n-i}) \right) x = 0$$

$$\therefore f_k \leq f_n.$$

La condición suficiente para que f_n sea máximo se sigue de la proposición:

Corolario: Sea $f = (f_1, \dots, f_n) \in T(\Omega)$ y $x = (x_1, \dots, x_n) \in \Omega$ y $T(x) = f$. Sea $k \in \{1, \dots, n\}$.

Si $x_{n-1} \leq \dots \leq x_1 \leq x_n \leq \dots \leq x_{n+1} \leq x_n$, entonces $f_k \leq f_n$ $\forall k \in \{1, \dots, n\}$.

demo:

(i) supongamos que $k < n$.

La condición implica claramente que $x_{n-1} \leq \dots \leq x_k \leq x_1, \dots, x_{k-1}, x_{n-1}, x_n$

y de la proposición se sigue que $f_k \leq f_n$.

(ii) si $k > n$ entonces:

$$x_1, \dots, x_{n-1}, x_k, x_{k+1}, \dots, x_n \leq x_{k-1} \leq \dots \leq x_n.$$

$$\therefore f_k \leq f_n.$$

4. VARIACIÓN DE LA TEMPERATURA CON RESPECTO A x

Como se mencionó en un principio, debido a los posibles datos conocidos o aproximados de una región determinada, interesa encontrar cómo varía una diferencia de temperaturas con respecto a x y \bar{f} . En los resultados que se presentan en esta sección se simuló para tres casos distintos una situación real posible. Suponiendo una distribución de temperatura determinada durante cada hora en un día (i.e. con la información que tenemos seguido hasta ahora, $N=24$) y suponiendo ciertos valores de albedo (A), fijo geométrico (θ), inercia térmica (P), cobertura nubosa ($1-c$) y emisividad (ϵ) (que se especifican para cada caso) además de ángulo azimutal (Z_n) (calculado a 32° de latitud norte para el 21 de junio) y temperaturas diurna y nocturna promedio (T_n) (303°K y 243°K respectivamente) para los tres casos, se calcularon los valores de x y (f_1, \dots, f_n) de la ecuación:

$$\Phi \cdot x + x x^A = (f_1, \dots, f_n).$$

Los valores de $x = (x_1, \dots, x_n)$ y x están dados por:

$$x_n = \frac{V_n}{V^*} \quad \text{y} \quad x = \frac{\epsilon \sigma \sqrt{10^4}}{P} (V^*)^2$$

donde:

V_n es la temperatura en la superficie ($^\circ\text{K}$) a la hora n .

$$V^* = \left(\frac{\bar{R}}{\epsilon \sigma} \right)^{1/4} \quad \text{con} \quad \bar{R} = \frac{\sum_{n=1}^N R_n}{N}$$

$$\text{y} \quad R_n = \epsilon_0 (1-A)(1-c) (1 - 0.2 \sqrt{\sec Z_n}) \cos Z_n + \theta + \epsilon \sigma T_n^4 \quad (\text{watt/m}^2)$$

con la notación de la ecuación (3) de 1.3.

Para simular (x_1, \dots, x_n) y x y obtener entonces un vector fijo (f_1, \dots, f_n) despegado de la ecuación, se supuso, como se muestra en la figura de distribución de temperatura, una distribución lineal de (V_n) con un valor mínimo (x_{\min}) a las 4 de la mañana y máximo (x_{\max}) a las 2 de la tarde. Se hicieron varios cálculos para cada caso, x_{\min} y x_{\max} además de A , θ , P , c y ϵ . Con ese valor fijo de (f_1, \dots, f_n) se hizo variar x de 0.05 en 0.05 desde 0 hasta 0.5 y, para cada x , se resolvió el sistema para (x_1, \dots, x_n) utilizando el método de Broutchen que se describió en 1.3 y se calculó, para cada x , la diferencia entre x_i máximo y x mínimo. En los tres casos se obtuvo una función estrictamente decreciente y, mientras mayor es la x , como se muestra en la gráfica, más parece aproximarse a una constante. El problema, como se dijo en la introducción, sigue abierto. Lo que presentamos en esta sección ejemplifica y da una idea del tipo de función que se busca.

Para cada caso escribiremos primero los valores exactos de a , b , P , cl , ϵ , x_{min} y x_{max} . Los valores obtenidos de x , V_n y f_n ($n=1, \dots, 24$) corresponden al primer conjunto de datos. Los cinco columnas del segundo conjunto corresponden en, respectivamente, x , $V^*(x; \text{máxima} - x; \text{mínima})$, $V^*x; \text{mínima}$, $V^*x; \text{máxima}$, y el error máximo en la solución del sistema (i.e. la componente máxima en valor absoluto de $\Phi \cdot x + Kx^4 - f$). Es interesante notar que el error en cada caso es insignificante a pesar de que en todos se llevaron a cabo solo cinco iteraciones del algoritmo de Broyden.

Caso 1: $a = 0.3$; $b = 0$ watt/m²; $P = 0.057 \cdot 41860$ watt $\sqrt{\text{cm}}/\text{m}^2 \cdot \text{K}$; $cl = 0$; $\epsilon = 0.6$;
 $x_{min} = 10 + 273$ °K; $x_{max} = 40 + 273$ °K.

ALFA: 0.00001

HOFG	TEMPERATURA	F1
1.0	14.4295714281	0.250934
2.0	14.2677142854	0.234405
3.0	17.1428571427	0.212185
4.0	10.0000000000	0.201115
5.0	13.0000000000	0.847301
6.0	14.0000000000	0.504870
7.0	19.0000000000	0.248891
8.0	23.0000000000	0.286180
9.0	25.0000000000	1.019359
10.0	29.0000000000	1.049767
11.0	31.0000000000	1.079180
12.0	34.0000000000	1.107119
13.0	37.0000000000	1.136929
14.0	40.0000000000	1.155824
15.0	37.0571428577	1.019874
16.0	35.7142857145	0.847412
17.0	37.5714285718	0.929477
18.0	31.4285714281	0.899704
19.0	32.2857142854	0.871310
20.0	37.1428571427	0.847210
21.0	35.0000000000	0.825234
22.0	32.8571428573	0.804987
23.0	30.7142857146	0.784984
24.0	30.5714285719	0.767231

ALFA	BIF TEND	TEND	TEND	NOVEDADE
0.00	37.412043	37.512043	110.916110	1.391719200E+10
0.05	37.839071	37.746510	99.282000	7.037240130E+10
0.10	34.299990	42.59345	72.40735	1.801719990E+10
0.15	31.244007	31.92380	67.30894	1.418900570E+10
0.20	30.777778	31.14280	57.00031	1.47340005E+10
0.25	30.714286	31.00000	47.04100	7.49298740E+11
0.30	26.67073	0.00000	37.12040	0.73116914E+11
0.35	29.20000	4.10040	33.93000	6.00000000E+11
0.40	30.70000	0.00000	30.00000	1.00000000E+10
0.45	29.00000	0.00000	31.34500	0.10000000E+10
0.50	30.70000	0.00000	30.00000	1.00000000E+10

CASO 2:

$$a = 0.4$$

$$Q = 0 \text{ watt/m}^2$$

$$P = 0.4 \cdot 41260 \text{ watt} \sqrt{\text{cm}} / \text{m}^2 \cdot \text{K}$$

$$c_l = 0.2$$

$$\epsilon = 0.8$$

$$T_{\text{MIN}} = 10 + 273 \text{ } ^\circ\text{K}$$

$$T_{\text{MAX}} = 30 + 273 \text{ } ^\circ\text{K}$$

ALFA: 0.04758

HOFO	TEMPERATURA	FL
1.0	14.2857142854	0.698571
2.0	12.8571428573	0.690665
3.0	11.4285714291	0.682172
4.0	10.0000000000	0.674034
5.0	12.0000000000	0.771448
6.0	14.0000000000	0.808722
7.0	16.0000000000	0.836114
8.0	18.0000000000	0.858432
9.0	20.0000000000	0.878123
10.0	22.0000000000	0.895524
11.0	24.0000000000	0.911395
12.0	26.0000000000	0.926093
13.0	28.0000000000	0.939841
14.0	30.0000000000	0.952846
15.0	28.5714285718	0.959470
16.0	27.1428571427	0.964377
17.0	25.7142857146	0.967753
18.0	24.2857142854	0.970343
19.0	22.8571428573	0.972814
20.0	21.4285714291	0.975157
21.0	20.0000000000	0.977429
22.0	18.5714285718	0.979697
23.0	17.1428571427	0.981970
24.0	15.7142857146	0.984262

ALFA	DIF TEMP	TMIN	TMAX	MAXERROR
0.05	20.41540	22.01491	17.17243	1.26148249E-10
0.05	19.98108	9.47805	29.45916	1.25516242E-10
0.10	15.13075	6.95354	19.12132	8.73414814E-11
0.15	12.77017	7.48320	14.05690	8.18565210E-11
0.20	10.00707	-17.72702	5.31002	1.53709044E-10
0.25	18.85412	-16.18257	6.30941	6.17130191E-10
0.30	10.45167	21.81484	25.02137	4.07810021E-09
0.35	19.14521	20.04107	9.53107	1.40738475E-09
0.40	18.08291	31.00117	-17.50944	4.12426717E-09
0.45	19.13252	37.01111	-17.07728	1.66148910E-07
0.50	18.08502	37.01077	20.11221	8.11105112E-09

CASO 5:

L = 0,5

Q = 200 walt/m²

P = 0,3 · 41860 walt seg/m² · °K

cl = 0,3

ε = 0,75

X_{MIN} = 5 + 273 °K.

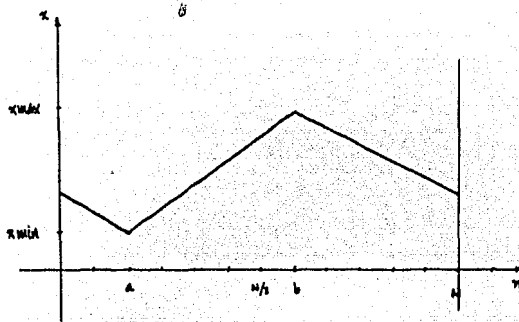
X_{MAX} = 45 + 273 °K.

ALFA: 0.07538

HORA	TEMPERATURA	FI
1.0	13.5714285710	0.573904
2.0	10.7142857146	0.557194
3.0	7.8571428573	0.541270
4.0	5.0000000000	0.526027
5.0	2.1428571429	0.511451
6.0	0.0000000000	0.497554
7.0	-2.1428571429	0.484357
8.0	-4.2857142857	0.471825
9.0	-6.4285714286	0.460010
10.0	-8.5714285714	0.448873
11.0	-10.7142857143	0.438375
12.0	-12.8571428571	0.428475
13.0	-15.0000000000	0.419148
14.0	-17.1428571429	0.410348
15.0	-19.2857142857	0.402032
16.0	-21.4285714286	0.394161
17.0	-23.5714285714	0.386693
18.0	-25.7142857143	0.379587
19.0	-27.8571428571	0.372700
20.0	-30.0000000000	0.366091
21.0	-32.1428571429	0.359709
22.0	-34.2857142857	0.353505
23.0	-36.4285714286	0.347430
24.0	-38.5714285714	0.341434

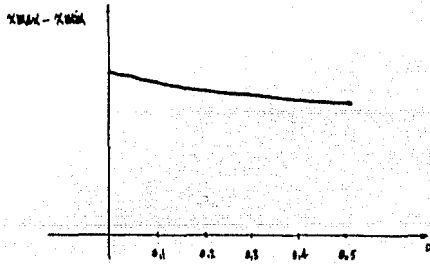
ALFA	HTF TEMP	TMIN	TMAX	NAMESPROP
0.50	41.09443	20.85054	42.04447	1.29140048E-10
0.05	40.73157	9.44109	49.28291	9.77114814E-11
0.10	39.70181	0.94464	49.44888	8.34735124E-11
0.15	38.14881	-1.14103	37.05248	1.09138764E-10
0.20	38.48707	-12.08579	24.41147	9.02254070E-11
0.25	39.22408	-17.04434	21.03123	1.54414089E-10
0.30	37.89117	-21.78375	14.11057	1.03500497E-09
0.35	37.54428	-26.04417	11.71014	4.37448850E-09
0.40	37.00111	-29.08901	7.77184	1.79589147E-09
0.45	34.02077	-32.04757	3.10314	3.46594927E-09
0.50	34.42001	-35.00147	0.75273	8.70883490E-09

0.



— Distribución de temperatura —

$$(a = 4H/24 \quad b = 14H/24 \quad \text{período} = H)$$



— Variación de la temperatura con respecto a x —

(Gráficas de T_n y $(x_{max} - x_{min})(x, f)$).

4 MÉTODOS NUMÉRICOS Y EJEMPLOS

Se decidió anexar al final del trabajo tres programas, por considerar que pueden ser útiles para el estudio del problema. El primero consiste en el programa que se utilizó para la obtención de los resultados de la sección anterior. Los otros dos ejemplifican métodos de solución para el flujo geostático y la navesca betónica como se explica en la sección 1.3.

PROGRAMA 1

```

BEGIN
  FILE TTY(KIND=REMOTE, HYPER=10);
  INTEGER I, J, K, N, H, NN, NN1;
  REAL USTAR, AL, O, P, CN, ID, IN, CO, GO, F, CS, Y, L1, L2, B, PI, PO, SUMA, ALFA,
  MAXTEN, HINTEN, MAXTRES, YMIN, NYMAX, BIFT, A1, A2;
  ARRAY G, FL, S, W, M1, M2, H1, H2(1:107, FILE=100:1007, B, HFO:100, O:107);
  DEFINT ITN = FOR NN1=1 STEP 1 UNTIL NN DO;
  ITM = FOR MM=1 STEP 1 UNTIL MM DO;
  PROCOR RESIZE(CA, NN1, 1);

  REAL PROCEDURE EXI, PNI VALUE I, N; INTEGER I, N;
  BEGIN
    REAL S; INTEGER K;
    FOR K=1 STEP 1 UNTIL NN DO S:=X(BC, N, O, I, N-K);
    P:=ALFA*(PNI, NN, K, 1)S-PI, ENI;
  ENB;

  REAL PROCEDURE INTAN, XN; VALUE N, X; INTEGER N; REAL X;
  BEGIN
    REAL A;
    A1:=1-EXP(-X**2)/NN;
    A2:=3*(EXP(-(CN-1)*(X**2)/NN)-EXP(-X**2));
    A:=EXP(-(N-1)*(X**2)/NN**2);
    INT:=A*((X**2)+1-EXP(-X**2));
  ENB;

  PROCEDURE CALCULAFI(N); VALUE N; INTEGER N;
  BEGIN
    REAL G, B;
    FOR J=1 STEP 1 UNTIL NN DO
      G:=INTAN(G, J, ENI);
    FOR J=1 STEP 1 UNTIL NN DO
      P:=INTAN(P, J, O, I, O, B, ENI);
    B:=G*(CO, CA, INTAN, I, O, I, ENI, H1, H2, S, W, M1, M2);
    IF B=1 THEN
      FL:=RESIZE(FL, NN, H1, H2, M1, M2, S, W, M1, M2);
    END;
  ENB;
  A1:=XY(SUM(CA, GO, TRES, GO, GO, TRES, M1, M2, S, W, M1, M2));
  B:=M1*(1-2*SUM(M2, GO, TRES, GO, TRES, M1, M2));
  ENB;

```

PROV1:=TRIVOTEK-17;
TRIVOTEK-17:=TRIVOTEK-17;
TRIVOTEK-17:=PROV1;

ENDS
IF ABS(AE(K-1)*NK-17) LESS 10**(-20) THEN GO FIN;
FOR I:=K+1 STEP 1 UNTIL N DO
BEGIN
 RCI-17:=AE(I-1)*NK-17/AE(K-1)*NK-17;
 AE(I-1)*NK-17:=-RCI-17;
 FOR J:=K+1 STEP 1 UNTIL N DO
 AE(I-1)*NKJ-17:=*RCI-17/AE(K-1)*NKJ-17;
ENDS

ENDS
WHILE ITER LESS N DO
BEGIN
 FOR I:=1 STEP 1 UNTIL N DO
 BEGIN
 NN:=TRIVOTEK-17;
 IF ITER EOL NN THEN
 RCI-17:=1 ELSE RCI-17:=0;

ENDS
 FOR I:=2 STEP 1 UNTIL N DO
 FOR J:=1 STEP 1 UNTIL I-1 DO
 RCI-17:=*AE(I-1)*NKJ-17*RCI-17;
 YEN-17:=RCI-17/AE(I-1)*NKJ-17;
 I:=N-1;
 DO
 BEGIN
 S:=0;
 FOR J:=I+1 STEP 1 UNTIL N DO
 S:=*AE(I-1)*NK+J-17*YEN-17;
 YCI-17:=(RCI-17-S)/AE(I-1)*NK+J-17;
 I:=J-1;
 END UNTIL I EOL 0;

 FOR I:=1 STEP 1 UNTIL N DO
 AINVRCI-17:=*ITER-17:=XCI-17;
 ITER:=+17;

ENDS
 INVERSA:=TRUE;

FIN;
END INVERSA;

WRITE(CTY, 'NUMBER OF INTERVALS'): REACTIVITY:Z/NN1;
WRITE(CTY, 'ALBEDO FULLY: INVERSA: CURCUTUS: CNTSTUIODD'):;
REACTIVITY:Z/ALYR:PCN:FA);

PCN=0.000000
ALYR=0.000000
FA=0.000000
Z=0.000000
CNTSTUIODD=0.000000
CURCUTUS=0.000000
INVERSA=0.000000
ALBEDO FULLY=0.000000
REACTIVITY=0.000000
NUMBER OF INTERVALS=0.000000

PCN=0.000000 ALYR=0.000000 FA=0.000000
Z=0.000000 CNTSTUIODD=0.000000
CURCUTUS=0.000000 INVERSA=0.000000
ALBEDO FULLY=0.000000
REACTIVITY=0.000000
NUMBER OF INTERVALS=0.000000


```

ANGHUBENITAL:
ITN BENTITE N GER ZNY AND U LEO LBY THEN
DNCRS*(1-ALX*(1-0.2800E7*(10000BENT)))*COS(COBY)*EY*(CAYTTRX)*40
ELSE SQ*5*(TN**4)+0:
SUMA:=0:
ITN SUBM:=#BENT:
SUMA:=SUMA/SUB:
UBSTAR:=(SUMA/(EY*SB))**(.1/4):
ALFA:=(.6*(EASO)*(SQRT(COBY)))/O*(USTAR**3):

WRITE(ITY,"*TEMP MINIMO Y TEMP MAXIMO*"): READ(ITY,"Z,XMIN,XMAX):
A1:=(Z*(XMIN-28XMAX)/5):
A2:=(O*(N1AXY)*XMAX-14*(XMINBY))/(N1-10*(Y)):
N1:=5:
FOR I:=0 STEP 1 UNTIL N1 DO BS(BI,*I):
FOR N:=4*(Y) STEP 1 UNTIL 14*(Y) DO
  REQ-N1:=(XMAX-XMIN)/(10*(Y)*N1A1:
  FOR N1:=15*(Y) STEP 1 UNTIL 20 DO
    REQ-N1:=(XMIN-XMAX)/(N1-10*(Y))*N1A2:
  FOR N1:=1 STEP 1 UNTIL 3*(Y) DO
    REQ-N1:=(XMIN-XMAX)/(N1-10*(Y))*(N1N1)+A2:
  ITN REQ-N1:=(REQ-N1+25)/USTAR:

ITN CALCULO(FCN):
FOR I:=0 STEP -1 UNTIL -NN DO F1(I):F1(I)NN:
ITN BEGIN
  SUMA:=0:
  ITN SUMA:=#REQ-N1*F1(I)-N1I:
  F1(I):=ALFA*(REQ-N1**3)+SUMA:
END:

WRITE(ITY,"*ALFA!*"+F10.5D,ALFA):
WRITE(ITY,"Z,"*HORA*,Y16,"*TEMPERATURA*",X16,"*E1*"):
ITN WRITE(ITY,"*CA.1*X10,F19.10-X10,F10.4D,MAX*,
  (REQ-N1)*USTAR)-273,F1(I)"):
WRITE(ITY,"Z/"):
WRITE(ITY,"*ALFA*X10-ADIF TEMP*X10-*MIN*,X10-*MAX*,Y10-
  *HABERFOR*"):
FOR ALFA:=0 STEP 0.05 UNTIL 0.5 DO
  BEGIN
    ITN ITN
    BENT-N1:=E DRY THEN ARO(COBY*CO-N1**3)*E1(I) ELSE F1(I)-N1I:
    ITN ITN H1(I)-1+(O-1)*BENT*(BENT-N1:
    IF NOT INCRS(H1,I)-NN) THEN WRITE(ITY,"MEMBR DE IMBRESION"):
    ITN ITN BENT-N1:=BENT-N1+(O-1)*N1:

FOR I:=0 STEP 1 UNTIL N1-1 DO ITERACION(I):
BENTN:=10*(I):
MAXTEM:=MAXTEMP:=0.0*(I):
ITN BEGIN
  MAXTEM:=MAX(MAXTEM,BENT-N1):
  BENTN:=BENTN+ITER(BENT-N1):
  MAXTEMP:=MAX(MAXTEMP,BENT-N1):
END:

MAXTEM:=MAX(MAXTEMP,BENT-N1)+ITER(BENT-N1)*USTAR)-273:
A1:=MAXTEM-BENTN:
WRITE(ITY,"*CA.1*X10,F19.10-X10,F10.4D,MAX*,
  (REQ-N1)*USTAR)-273,F1(I)"):
ALFA:=A1*(BENTN-BENTN)*HABERFOR:

```

END

PROGRAMA 2

```

REGIM
FILE      THAGEN(KIND=DISK,FILETYPE=7),
          FLUJO(KIND=DISK,MYUSE=OUT,AREASIZE=90,SAVEFACTOR=99),
          INERCIA(KIND=DISK,MYUSE=OUT,AREASIZE=90,SAVEFACTOR=99),
          DATOS(KIND=DISK,TITLE='JR90/DALG.',FILETYPE=7),
          TTY(KIND=REMOTE,MYUSE=IO);
ARRAY     VD,VT,VM,AL,R,P,RCO:0J,CE1:4J,TITE0:10J,
          CTAB,F1,F2E1:512J,XE1:4:0:700J;
POINTER  PP;
REAL     F0,FF1,C0,DF,DC,NTAB,NTAB0,EM,E,SIG,ESIG,NOM,OD,GT,GN,CONS,
          TD,TT,TH,CTA1,CTA2,NXP,NX0,HNF,HND;
INTEGER  I,J,K,KONT,NX,NY,NN,NREG;
DEFINE   INCR(J) = BEGIN KONT:=J+1; J:=J+1; GO HH; ENDF,
          RS(A) = RESIZE(A,NN)!,
          LEE(A,G,T) = BEGIN READ(IMAGEN,NX,POINTER(B));
                          PP:=POINTER(B,B);
                          FOR J:=1 STEP 1 UNTIL NX DO
                          BEGIN
                              ACJJ:=REAL(PP,1)*G+T;
                              PP:=PP+1;
                          END; ENDF;

PROCEDURE FGOT(ND,V1,V2,V3,ALB,Q,P);
VALUE ND; INTEGER ND; ARRAY V1,V2,V3,ALB,Q,PC*J;
BEGIN
    LABEL  HH;
    INTEGER I,J;
    REAL   DIF1,DIF2,FSTAR,ASTAR,A,B,C,D;
    J:=1;
    HH: IF J LEQ ND THEN
        BEGIN
            IF DIF1:=V3CJJ-V1CJJ LEQ CTA1 THEN INCR(J);
            IF DIF2:=V2CJJ-V1CJJ LSS CTA2 THEN INCR(J);
            FSTAR:=DIF1/DIF2;
            I:=IF FSTAR LSS F0 THEN 1 ELSE IF FSTAR GTR FF1-DI THEN
                NTAB ELSE (FSTAR-F0)/DF+1;
            C:=CTABEIJ;
            I:=MIN((C-CTAB0NTAB)/DC+1,300);
            ASTAR:=DIF2/F2EIJ;
            IF D:=1-ALBEJJ LEQ CTA2 THEN INCR(J);
            A:=ASTAR/D;
            B:=(V1EJJ+V2EJJ)/(2*A)-DI(F1EIJ+F2EIJ/2);
            PEJJ:=520.9929033/(A*C);
            QEJJ:=B-ESIG/(A**1.3333333)-E;
            J:=J+1; GO HH;
        END;
    ENDF;
END;

WRITE(TTY,<'*NOHBRE DEL ARCHIVO?');
READ(TTY,<AS,NOM);
REPLACE POINTER(TII) BY 'PR/PRDR/BAIDAS',NON FOR S,'.';
REPLACE IMAGEN,TITLE BY POINTER(TIT);
REPLACE POINTER(TIT) BY 'JR90/IMAGEN',NON FOR S,'/FLUJO.';
REPLACE FLUJO,TITLE BY POINTER(TIT);
REPLACE POINTER(TIT) BY 'JR90/IMAGEN',NON FOR S,'/INERCIA.';
REPLACE INERCIA,TITLE BY POINTER(TIT);

```

```

WRITE(TTY, <'*NUMERO DE X'S Y Y'S?*>);
READ(TTY, /, NX, NY);
NN:=NX+1;
RS(VD); RS(UT); RS(VN); RS(AL); R9(F); RS(Q); RESIZE(B, NX/6+1);
FLUJO, MAXRECSIZE :=NX; FLUJO, BLOCKSIZE :=NX*30;
INERCTA, MAXRECSIZE:=NX; INERCTA, BLOCKSIZE:=NX*30;

```

```

READ(DATOS, /, FO, FF 1, DF, NTAB);
READ(DATOS, /, NTAB, FOR I:=1 STEP 1 UNTIL NTAB DO CTAB(I));
READ(DATOS, /, CO, DC, NTABC);
READ(DATOS, /, NTABC, FOR I:=1 STEP 1 UNTIL NTABC DO F1(I));
READ(DATOS, /, NTABC, FOR I:=1 STEP 1 UNTIL NTABC DO F2(I));

```

```

EM :=-0.97;
E :=EM*240;
SIG :=5.6688*(10**(-8));
ESIG:=(1/(EM*SIG))*33333333*0.472470393934;
GD :=0.32954; TD:=6.920454+273;
GT :=0.05349; TT:=19.88751+273;
GN :=0.03409; TN:=15.15909+273;
CC1:=0.006175463;
CC2:=0.000818094;
CC3:=0.01852127;
CC4:=0.013284246;
CONS:=-0.23669748;
CTA1:=-1*(10**(-6));
CTA2:=0.5*(10**(-12));
MNP :=MND:-10**(10);
MXP :=MXD:-10**(-9);

```

```

THRU NY DO
BEGIN

```

```

LEE(VN, GN, TN);
LEE(UT, GT, TT);
FOR K:=1, 2, 3, 4 DO
BEGIN

```

```

READ(IMAGEN, NX, FINDER(B));
PP:=FINDER(B, B);
FOR J:=1 STEP 1 UNTIL NX DO
BEGIN
X(K, J):=REAL(PP, 1)*CK(K);
PP:=PP+1;
END;

```

```

END;
FOR J:=1 STEP 1 UNTIL NX DO
ALC(J):=MAX(0, MIN(XC1, J)+XC2, J)+XC3, J)+XC4, J)+CONS, 0, 0);
LEE(VD, GD, TD);
KONT:-0;
FGEOT(NX, VN, VD, UT, AL, Q, P);
IF (NREG+1) MOD 70 EQL 0 THEN
WRITE(TTY, <'*LINEA', IS, X4, IS, ' ERRORES*>, NREG+1, KONT);

```

```

FOR I:=1 STEP 1 UNTIL NX DO
BEGIN
MXQ:=MAX(MXD, Q(I)); MXP:=MAX(MXP, P(I));
MND:=MIN(MND, Q(I)); MNP:=MIN(MNP, P(I));
END;

```

```

WRITE(FLUJO,NN,R);
WRITE(INERCIA,NN,P);
NREG:=#I-1;

```

END;

```

LOCK(FLUJO,CRUNCH);
LOCK(INERCIA,CRUNCH);
WRITE(TTY,('*IMAGENES GENERADAS CON',I5,' REGISTROS CADA UNA:',/,
'*JR?0/IMAGEN/',A6,'/FLUJO : MIN:',F14.4,' MAX:',F14.4,/,
'*JR?0/IMAGEN/',A6,'/INERCIA: MIN:',F14.4,' MAX:',F14.4>);
NREG,NOH,MHQ,MXQ,NOH,MNP,MXP);

```

END.

PROGRAMA 3.

```

BEGIN
  FILE TTY(KIND=REMOTE, HYUSE=ID),
    DK24(KIND=DISK, TITLE="JR90/DATOS/24."),
    DK48(KIND=DISK, TITLE="JR90/DATOS/48.");
  INTEGER I, J, N, M, R, NN, NI, N1, N2, N3;
  REAL A, E, K, P, Q, T, Y, L1, L2, D1, P1, P2, CN, CS, AL, EA, TD, TN, SG, SUMA,
    UN1, UN2, UN3;
  ARRAY D, G, S, W, H1, H2, H1, H2(0:0), FIC(100:100), B, H, UC(0:100, 0:0);
  DEFINE ITN = FOR N:=1 STEP 1 UNTIL NN DO#,
    ITM = FOR M:=1 STEP 1 UNTIL NN DO#,
    TEMP(M) = M NEQ N1 AND M NEQ N2 AND M NEQ N3#,
    RS(A)= RESIZE(A, NN+1)#;

  REAL PROCEDURE F(I, N); VALUE I, N; INTEGER I, N;
  BEGIN
    REAL S; INTEGER K;
    FOR K:=1 STEP 1 UNTIL NN DO S:=#+UCI, K]*FIC(N-K+1)];
    F:=SG*BCI, N1]*UCI, N1]**4-GCN]+A*S*BCI, N2]-A*DCN]*BCI, N2]**BCI, N3)];
  END;

  REAL PROCEDURE INT(N, X); VALUE N, X; INTEGER N; REAL X;
  BEGIN
    REAL A;
    A:=1-EXP(-(X**2)/NN);
    A:=A*(EXP(-(NN-1)*(X**2)/NN)-EXP(-(X**2)));
    A:=EXP(-(N-1)*(X**2)/NN)*A;
    INT:=A/((X**2)*(1-EXP(-(X**2)))));
  END;

  PROCEDURE CALCULAFI(N); VALUE N; INTEGER N;
  BEGIN
    REAL A, B;
    FOR J:=1 STEP 1 UNTIL NI-1 DO
      A:=#+INT(N, L1+J*DI)];
    FOR J:=1 STEP 1 UNTIL NI DO
      B:=#+INT(N, L1+(J-(1/2))*DI)];
    FICN]:=(PI/4)*(INT(N, L1)+INT(N, NI)+2*A+4*B);
    IF N=1 THEN
      FIC1]:=2*SQRT(NN)-FIC1]*2*NN/SQRT(PI) ELSE
      BEGIN
        A:=2*(SQRT(N)+SQRT(N-2)-2*SQRT(N-1))*SQRT(NN);
        FICN]:=A-(2*NN*FICN]/SQRT(PI));
      END;
  END;

  PROCEDURE ANGULOCENTRAL;
  BEGIN
    ITN BEGIN
      IF N LSS 6*Y OR N GTR 18*Y THEN GCN]:=90;
      IF N LEQ 11*Y AND N GEQ 6*Y THEN GCN]:=(145-10*N/Y);
      IF N LEQ 18*Y AND N GEQ 13*Y THEN GCN]:=(10*N/Y-95);
      IF N LEQ 13*Y AND N GEQ 11*Y THEN GCN]:=35;
      GCN]:=GCN]*P2;
    END;
  END;

```

```

PROCEDURE ITERACION(I); VALUE I; INTEGER I;
BEGIN
  ITM BEGIN
    SUMA:=0;
    ITN SUMA:=*+F(I,N)*HCM,NJ;
    RCI+1,MJ:=RCI,MJ-SUMA;
    IF TEMP(M) THEN UCI+1,MJ:=BCI+1,MJ;
    SCMJ:=BCI+1,MJ-RCI,MJ;
  END;
  ITN WCNJ:=F(I+1,N)-F(I,N);
  ITN BEGIN
    M1CNJ:=M2CNJ:=0;
    ITM M1CNJ:=*+HCN,MJ*WCNJ;
    ITM M2CNJ:=*+HCN,MJ*SCMJ;
    M1CNJ:=SCNJ-M1CNJ;
  END;
  SUMA:=0;
  ITM ITN SUMA:=*+WCNJ*SCMJ*HCM,NJ;
  IF SUMA NEQ 0 THEN SUMA:=1/SUMA;
  ITN ITM HCN,MJ:=*+SUMA*M1CNJ*M2CNJ;
END;

```

```

BOOLEAN PROCEDURE INVERSA(A,AINVER,N);
VALUE N; INTEGER N;
ARRAY A,AINVER[*];
% ESTA RUTINA DEJA EN AINVER LA INVERSA DE A
% A ES DE TAMAÑO N*N
BEGIN

```

```

  INTEGER I,J,K,L,ITER;
  ARRAY IPIVOT[K,B,XC0:N-1];
  REAL PROV,PROV1,NN,S;
  LABEL FIN;
  ITER:=1;
  FOR J:=1 STEP 1 UNTIL N DO
    IPIVOT[J-1]:=J;
    FOR K:=1 STEP 1 UNTIL N-1 DO
      BEGIN
        L:=K;
        FOR I:=K+1 STEP 1 UNTIL N DO
          IF ABS(AC(I-1)*N+K-1) LSS ABS(AC(L-1)*N+K-1) THEN
            ELSE
              L:=I;
          IF L NEQ K THEN
            BEGIN
              FOR J:=1 STEP 1 UNTIL N DO
                BEGIN
                  PROV:=AC(K-1)*N+J-1;
                  AC(K-1)*N+J-1:=AC(L-1)*N+J-1;
                  AC(L-1)*N+J-1:=PROV;
                END;
              PROV1:=IPIVOT[K-1];
              IPIVOT[K-1]:=IPIVOT[L-1];
              IPIVOT[L-1]:=PROV1;
            END;
          IF ABS(AC(K-1)*N+K-1) LSS 10**(-20) THEN GO FIN;
          FOR I:=K+1 STEP 1 UNTIL N DO
            BEGIN
              RCI-1:=AC(I-1)*N+K-1/AC(K-1)*N+K-1;
              AC(I-1)*N+K-1:=-RCI-1;
              FOR J:=K+1 STEP 1 UNTIL N DO
                AC(I-1)*N+J-1:=-RCI-1*AC(K-1)*N+J-1;
            END;
          END;
        END;
      END;
    END;
  END;

```

```

WHILE ITER LEQ N DO
BEGIN
  FOR I:=1 STEP 1 UNTIL N DO
  BEGIN
    NN:=IPIVOT(I-1);
    IF ITER EQL NN THEN
      RCI-1:=1 ELSE
      RCI-1:=0;
  END;
  FOR I:=2 STEP 1 UNTIL N DO
  FOR J:=1 STEP 1 UNTIL I-1 DO
  RCI-1:=*+AC(I-1)*N+J-1)*BCJ-1;
  XCN-1:=RCN-1/AC(N-1)*N+1-1;
  I:=N-1;
  DO
  BEGIN
    S:=0;
    FOR J:=I+1 STEP 1 UNTIL N DO
    S:=*+AC(I-1)*N+J-1)*XEJ-1;
    XCI-1:=(RCI-1-S)/AC(I-1)*N+I-1;
    I:=*-1;
  END UNTIL I EQL 0;
  FOR I:=1 STEP 1 UNTIL N DO
  AINVER(I-1)*N+ITER-1:=XCI-1;
  ITER:=*+1;
END;
INVERSA:=TRUE;
FIN;
END INVERSA;

```

% evaluacion de parametros

```
WRITE(TTY,<'NUMERO DE INTERVALOS?>); READ(TTY,/.NN);
```

- AL:=.3; Xalbedo
- CN:=1; Xcubertura nubosa
- TD:=20; Xtemperatura diurna en grados centigrados
- TN:=20; Xtemperatura nocturna en grados centigrados
- TD:=*+273; Xtemperatura diurna en grados Kelvin
- TN:=*+273; Xtemperatura nocturna en grados Kelvin
- R :=20; Xnumero de iteraciones para fi[n]
- NI:=25; Xnumero de intervalos de integracion
- L1:=.001; Xlimite inferior de integracion
- L2:=10; Xlimite superior de integracion
- PI:=ARCCOS(-1); Xpi
- P2:=PI/180; Xpi/180
- EA:=0.6; Xemisividad de la columna de aire
- SG:=(5.6688)*(10**(-8)); Xconstante de stefan-boltzmann
- T :=24*3600; Xperiodo
- CS:=4186/3; Xconstante solar

% constantes utiles

```
Y :=(NN*3600)/T;
DI:=(L2-L1)/NI;
```

% redefinicion de arreglos

```
RS(0); RS(S); RS(W); RS(M1); RS(M2); RS(D);
ITN RS(HEN,*J);
RESIZE(H1,NN**2+1);
RESIZE(H2,NN**2+1);
```

% evaluacion de FICn]

```
IF NN EQL 24 THEN ITM READ(DK24,/,FICM) ELSE
IF NN EQL 48 THEN ITM READ(DK48,/,FICM) ELSE
ITM CALCULAFICM);
FOR I:=0 STEP -1 UNTIL -NN DO FICI:=FICI+NN);
ITN ITM DEN:=*+FICN-M+1);
```

% calculos del angulo cenital y de GCn]

```
ANGULOCENTRAL;
ITN GCN:=IF N GER 6*Y AND N LEQ 18*Y THEN
CN*CS*(1-AL)*(1-0.2*SQRT(1/COS(GCN)))*COS(GCN)+SG*EA*(TU**4)
ELSE SG*EA*(TN**4);
A:=1/SQRT(PI*T);
```

```
WRITE(TTY,<'VALORES INICIALES:'>);
WRITE(TTY,<'HORA 1 Y TEMPERATURA 1?'>); READ(TTY,/,N1,UN1);
WRITE(TTY,<'HORA 2 Y TEMPERATURA 2?'>); READ(TTY,/,N2,UN2);
WRITE(TTY,<'HORA 3 Y TEMPERATURA 3?'>); READ(TTY,/,N3,UN3);
UN1:=*+273; UN2:=*+273; UN3:=*+273;
```

```
WRITE(TTY,<'P,E Y Q INICIALES?'>);
READ(TTY,/,P,E,Q);
```

```
WRITE(TTY,<'NUMERO DE ITERACIONES?'>);
READ(TTY,/,NI);
FOR I:=0 STEP 1 UNTIL NI+1 DO
BEGIN
  RS(BI,*);
  RS(UI,*);
  UI,N1:=UN1; UI,N2:=UN2; UI,N3:=UN3;
END;
```

% valores iniciales para BCn] y HCn,m]

```
ITN BCO,N1:=IF N GER 6*Y AND N LEQ 18*Y THEN 323 ELSE 273;
BCO,N1:=E; BCO,N2:=F*41860; BCO,N3:=Q;
ITM IF TEMP(M) THEN UCO,M:=BCO,M];
```

```
ITN BEGIN ITM
  IF TEMP(M) THEN
  IF M=N THEN HCN,M]:=4*SG*BCO,N1]*BCO,N]**3+A*BCO,N2]*FICI]
  ELSE HCN,M]:=A*BCO,N2]*FICN-M+1];
  HCN,N1:=SG*UFO,N]**4;
  SUMA:=0;
  ITM SUMA:=*+UFO,M]*FICN-M+1];
  HCN,N2:=A*SUMA-A*BCO,N3]*DEN];
  HCN,N3:=-A*BCO,N2]*DCN];
END;
ITN ITM HCN-M+1*(N-1)*NN:=HCN,M];
IF NOT INVERSA(H1,H2,NN) THEN WRITE(TTY,<'ERROR DE INVERSION'>);
ITN ITM HCN,M]:=HCN-M+1*(N-1)*NN];
```


Z iteraciones

FOR J:=0 STEP 1 UNTIL NI-1 DO ITERACION(J);

WRITE(TTY,<'ITERACION',I4>,NI);

WRITE(TTY,</, 'HORA',X16, 'TEMPERATURA',X16, 'ERROR*>);

FOR M:=12*Y STEP 1 UNTIL NN DO

WRITE(TTY,<F4.1,X10,F18.10,X10,F15.8>,M/Y,UCNI,MJ-273,F(NI,M));

FOR M:=1 STEP 1 UNTIL 12*Y DO

WRITE(TTY,<F4.1,X10,F18.10,X10,F15.8>,M/Y,UCNI,MJ-273,F(NI,M));

WRITE(TTY,<///, 'EMISIVIDAD : ',F25.10, ' ERROR! ',E15.8,

BN1,N1J,F(NI,M1));

WRITE(TTY,<'INERCIA TERMICA: ',F25.10, ' ERROR: ',E15.8,

BN1,N2J/41860,F(NI,M2));

WRITE(TTY,<'CONDUCTIVIDAD : ',F25.10, ' ERROR: ',E15.8,

BN1,N3J,F(NI,M3));

WRITE(TTY(ESPACE 4));

END.

BIBLIOGRAFIA

- BEISER, A. "Concepts of Modern Physics" McGraw-Hill, New York, 1963.
- BERMAN, E.R. "Geothermal Energy" Noyes Data Corporation, New Jersey, 1975.
- BROUDEN, C.G. "A Class of Methods for Solving Nonlinear Simultaneous Equations" Math. of Computation 19 No. 92, 1965.
- CARSLAW, H.S. "Introduction to the theory of Fourier's Series and Integrals" MacMillan, London, 1930.
- CARSLAW, H.S. & JAEGER, J.C. "Conduction of Heat in Solids" 2^a ed. Oxford University Press, 1959.
- CARSLAW, H.S. & JAEGER, J.C. "Operational Methods in Applied Mathematics" 2^a ed. Oxford University Press, New York, 1948.
- DICKSON, L.E. "New First Course in the theory of Equations". John Wiley and Sons, New York, 1962.
- DOETSCH, G. "Guide to the Applications of the Laplace and Z Transforms" Van Nostrand Reinhold Company, 2^a ed. London, 1971.
- DOETSCH, G. "Introduction to the theory and application of the Laplace transformation" Springer-Verlag, Berlin, 1974.
- DOETSCH, G. & WELKER, D. "Die zweidimensionale Laplace-Transformation" Verlag-Birkhäuser, Basel, 1950.
- DYM, H. & McKEAN, H.P. "Fourier Series and Integrals" Academic Press, New York, 1972.
- ECKERT, E.R.G. & DRAKE, R.M. "Analysis of Heat and Mass Transfer" International Student Edition, McGraw-Hill, Tokyo, 1972.
- EDWARDS, R.E. "Fourier Series" Springer-Verlag, 2^a ed. New York, 1979.
- EGGLESTON, H.G. "Convexity" Cambridge University Press, 1969.
- FARAH, J.L. "Analysis of a Discrete-Time Linear Model for Geothermal Flux Reconnaissance from two or three Infrared Measurements" XV Int. Symp. on Remote Sensing of Environment. Ann Arbor, Mich., 1981.
- HLADIK, J. "La Transformation de Laplace à plusieurs variables" Masson, 1964.
- JAEGER, J.C. "Conduction of Heat in a Solid with Periodic Boundary Conditions, with an Application to the Surface Temperature of the Moon" Proc. Cambridge Phil. Soc. 49 No. 2, 1953.
- JAEGER, J.C. "Pulsed Surface Heating of a Semi-Infinite Solid" Quart. Appl. Math. Vol XI, No 4, 1953.
- JINICH, A. et al. "Application of Machine Processing of Visible and Thermal Data to the Study of the Geothermal Area of Cerro Prieto, Mexico" XV Int. Symp. on Remote Sensing of Environment, Ann Arbor, Mich., 1981.

PASCALI, D. y SBURLAN, S. "Nonlinear Mappings of Moutzane Type" Editura Academiei, Romania, 1978.

SAATY, T.L. y BRAM, J. "Nonlinear Mathematics" McGraw-Hill, New York, 1964.

SCHOENBERG, I. J. "Convex Domains and Linear Combinations of Continuous Functions" American Math. Society, Vol 34 No. 4, 1933.

SIMMERFELD, A. "Partial Differential Equations in Physics", Lectures on theoretical physics, vol VI, Academic Press, New York, 1944.

WAHL, E. F. "Geothermal Energy Utilization" John Wiley and Sons, New York, 1977.

WATSON, K. "Periodic Heating of a Layer over a Semi-Infinite Solid" J. Geophys. Res. Vol 98 No. 26, 1993.

WATSON, K. "Application of Thermal Modeling in the Ecological Interpretation of IR Images" Proc. of the 7th International Symposium on Remote Sensing of Environment, Vol. 3. Ann Arbor, Mich, 1991.

WATSON, K. "Geologic Applications of Thermal Infrared Images" Proc. of the IEEE, vol. 63 No 6, Denver, Col. 1975.

WODER, D.V. "The Heat Equation" Academic Press, London, 1975.